



(12)

CERERE DE BREVET DE INVENTIE

(21) Nr. cerere: **a 2022 00328**

(22) Data de depozit: **14/06/2022**

(41) Data publicarii cererii:
28/10/2022 BOPI nr. **10/2022**

(71) Solicitant:

- UNIVERSITATEA DIN BUCURESTI,
SOS.PANDURI NR.90, SECTOR 5,
BUCURESTI, B, RO;
- UNIVERSITATEA DE VEST "VASILE
GOLDIȘ" DIN ARAD, BD. REVOLUȚIEI
NR. 94-96, ARAD, AR, RO;
- PLANEXTRAKT S.R.L., STR.ZALĂULUI,
RADAIA, CJ, RO

(72) Inventatori:

- HERMENEAN ANCA OANA,
STR.EPISCOP ROMAN CIOROGARIU,
NR.24, ARAD, AR, RO;
- BALTĂ CORNEL, STR.1, NR.217, BL.2,
AP.4, HÂȘMAŞ, AR, RO;
- OLAH NELI KINGA, STR.ION LUCA
CARAGIALE, NR.6-8, SC.4, AP.63,
CLUJ NAPOCA, CJ, RO;
- COSTACHE MARIETA, STR.TELITA
NR.12, BL..56, SC.4, ET.1, AP.46,
SECTOR 5, BUCURESTI, B, RO;
- DINISCHIOTU ANCĂ, CALEA MOȘILOR,
NR.124A, SC.1, ET.1, AP.2, SECTOR 2,
BUCURESTI, B, RO;
- DINESCU SORINA, BD. 1 DECEMBRIE
1918, NR. 45, BL. J41, AP. 81, SECTOR 3,
BUCURESTI, B, RO;
- NAZARIE SIMONA- REBECA,
STR.PODUL NEAGULUI, NR.49,
SECTOR 2, BUCURESTI, B, RO;
- LAZĂR ANDREEA, STR.POPESCU
ROMEO, NR.29, SECTOR 1, BUCURESTI,
B, RO;
- SELARU AIDA, STR.ROMULUS, NR.38,
AP.4G, ET.4, SECTOR 3, BUCURESTI, B,
RO;

- SAMOILĂ IULIANA, STR.ULMIOR,
NR.38, BACĂU, BC, RO;
- BALAHURA ROXANA,
STR.SOLD.TUDOR ION, NR.4, BL..5, SC.2,
AP.22, SECTOR 3, BUCURESTI, B, RO;
- ȘERBAN MIRELA VIOLETA,
STR.VETERANILOR, NR.2, BL.M13, SC.1,
ET.7, AP.89, SECTOR 6, BUCURESTI, B,
RO;
- VOICU SORINA NICOLETA,
STR.MOHORULUI, NR.6, BL.17, SC.7, ET.1,
AP.100, SECTOR 6, BUCURESTI, B, RO;
- BADEA ANDREEA,
STR.MONUMENTULUI, NR.446,
LOCALITATEA MALU SPART, BOLINTIN
VALE, GR, RO;
- ION CLAUDIU, STR.PODUL GIURGIULUI,
NR.9, BL. 10T, ET.5, AP.24, SECTOR 5,
BUCURESTI, B, RO;
- COTORACI CORALIA ADINA,
STR.CD LOGA, NR.3, ARAD, AR, RO;
- FENYVESI FERENC, STR.AKADEMIA,
NR.6, DEBRECEN, HU;
- ROŞU MARCEL, STR. LIBERTĂȚII, NR.21,
SÂNTANA, AR, RO;
- GHARBIA SAMI, STR.COCORILOR,
NR.48/A, BL.2, AP.93, ARAD, AR, RO;
- HILDEGARD HERMAN,
STR.OCTAVIAN GOGA, NR.5, AP.8, CAREI,
SM, RO;
- CICEU ALINA, PIATA ARENEI, NR.6,
BL.E, SC.C, AP.3, ARAD, AR, RO;
- MLADIN BIANCA MARIA,
ALEEA ROMANTA, NR.4, BL.S, SC.B, ET.2,
AP.10, ARAD, AR, RO;
- BURTESCU RAMONA FLAVIA,
CALEA FLOREȘTI, NR.79, SC.IV, ET.9,
AP.116, CLUJ-NAPOCA, CJ, RO;
- PRIPON FURTUNA FLAVIA ROXANA,
ALEEA ZAMBILELOR, NR.4, BACIU, CJ, RO

(54) **COMPOZIȚIE FITOTERAPEUTICĂ PE BAZĂ DE EXTRACT
GEMOTERAPIC DE CORYLUS AVELLANA ÎMBOGĂȚIT CU
NANOCOMPLEXE DE CRISINĂ/ CICLODEXTRINE DESTINAT
FIBROZEI HEPATICE ÎN DIABETUL ZAHARAT ȘI METODĂ
DE OBȚINERE AACESTEIA**

(57) Rezumat:

Invenția se referă la un procedeu de obținere a unei compozitii farmaceutice pe bază de extract gemoterapic de *Corylus avellana* îmbogățit cu nanocomplexe de crisină/ciclodextrine destinaț fibrozei hepatice în diabetul zaharat. Procedeul, conform inventiei, constă în etapele de: obținere a extractului gemoterapic de *Corylus avellana* din muguri de alun în stare proaspătă în solvent amestec de glicerina-alcool etilic 96% vol (1:1), prin extractia la rece, prin macerare, timp de 20

zile, la un raport 1:20 plantă-solvent, formularea complexelor de inclusiune crisină-ciclodextrină, amestecarea extractului gemoterapic de alun cu nanocomplexe de crisină/ciclodextrine și lipofilizarea amestecului, rezultând o compozitie fitoterapeutica având proprietati anti-fibrotice hepatice.

Revendicări: 6

Figuri: 23

Cu începere de la data publicării cererii de brevet, cererea asigură, în mod provizoriu, solicitantului, protecția conferită potrivit dispozițiilor art.32 din Legea nr.64/1991, cu excepția cazurilor în care cererea de brevet de inventie a fost respinsă, retrasă sau considerată ca fiind retrasă. Întinderea protecției conferite de cererea de brevet de inventie este determinată de revendicările conținute în cererea publicată în conformitate cu art.23 alin.(1) - (3).



OFICIUL DE STAT PENTRU INVENTII SI MARCI
Cerere de brevet de Invenție
Nr. 0220038
Data depozit 14 -06- 2022

99-

DESCRIEREA INVENTIEI

Titlul invenției: Compoziție fitoterapeutică pe bază de extract gemoterapic de *Corylus avellana* îmbogățit cu nanocomplexe de crisină/cyclodextrine destinat fibrozei hepatice în diabetul zaharat și metodă de obținere a acesteia

Domeniul tehnic la care se referă invenția:

Prezența invenție se referă la o nouă compoziție fitoterapeutică pe bază de extract gemoterapic de *Corylus avellana* îmbogățit cu nanocomplexe de crisină/cyclodextrine destinat fibrozei hepatice în diabetul zaharat și metoda de obținere a acesteia

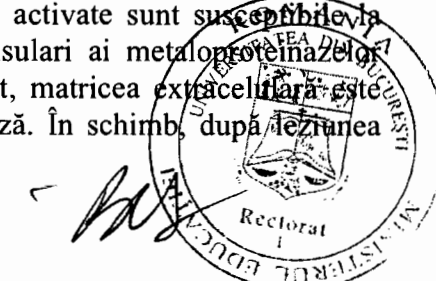
Stadiul tehnicii:

Ciroza hepatică și diabetul zaharat (DZ) sunt două boli cronice cu impact semnificativ asupra calității vieții. DZ are o prevalență globală estimată de aproximativ 9%, iar până în 2030, la nivel global 300-400 de milioane de oameni vor fi afectați [1], rezultând o încărcătură economică și socială semnificativă [2, 3]. Scăderea toleranței la glucoză este observată la aproximativ 80% dintre pacienții cu ciroză, în timp ce 30-60% dintre pacienții cu ciroză avansată dezvoltă diabet [4]. Dovezile cumulate ale rezultatelor cercetărilor efectuate până în prezent sugerează că diabetul [5], rezistența la insulină [6, 7] și nivelul de glucoză din sânge [8] sunt asociate cu progresia fibrozei hepatice la pacienții cu boli hepatice cronice. Puține studii au evidențiat impactul DZ de tip 2 asupra rezultatelor clinice ale cirozei. În mai multe analize retrospective transversale ale pacienților cu ciroză, DZ a conferit un risc mai mare de complicații [9, 10]. Mai mult, studiul Verona, care a înrolat > 7000 de indivizi cu DZ de tip 2, a generat un risc de mortalitate pe 5 ani de 2,52 ori (IC 95%: 1,96–3,2) mai mare raportat la riscul general populațional [11].

Fibroza hepatică este un răspuns cicatricial reversibil la leziunile hepatice și, în cele din urmă, duce la ciroză, asociată cu formarea de noduli și contracție de organ [12]. Formarea cicatricilor fibroase este caracterizată prin acumularea progresivă a unei matrice extracelulare modificate calitativ (ECM) care este îmbogățită excesiv în colagen fibrilar de tip I și III și este asociată cu scăderea remodelării matricei [13]. Aceasta modificare a matricei este însoțită de o angiogeneza alterată, ducând în cele din urmă la modificări structurale severe caracteristice cirozei hepatice.

Procesul de fibrogeneză este condus de o populație celulară heterogenă (celule asemănătoare miofibroblastelor) care sunt implicate în patogeneza fibrozei hepatice: celule hepatice stelate, fibroblaste portale, celule stem mezenchimale derivate din măduva osoasă, hepatocite și celule epiteliale biliare, fibrocite. În timpul progresului fibrogenezei, celulele stelate hepatice (HSC), care în stare normală sunt în repaus și stochează vit. A, se activează, urmată de eliberarea de citokine și chemokine, care induce transdiferențierea lor în celule asemănătoare miofibroblastelor [13]. Acest pas este marcat de expresia crescută α-SMA și procolagen-I, ducând în final la o producție crescută și acumulare de componente ale matricei extracelulare, inclusiv colagen. Factorul de creștere transformator-β1 (TGF-β1) produs de celulele Kupffer, celulele endoteliale și hepatocite a fost recunoscut ca un activator cheie al HSC în patogeneza fibrozei hepatice și acționează prin activarea căii de semnalizare Smad [14].

În stare normală, matricea poate fi degradată de o varietate de enzime, dar în primul rând de metaloproteinaze de degradare a matricei (MMP). MMP-urile activate sunt susceptibile la inhibarea de către inhibitorii extracelulari cheie, inhibitorii tisulari ai metaloproteinazelor (TIMP). În situații sănătos raportul TIMP-MMP este echilibrat, matricea extracelulară este degradată și astfel nu se acumulează colagen provocând fibroză. În schimb, după leziunea



hepatică, echilibrul TIMP-MMP este perturbat, iar TIMP-urile sunt supraexprimate, contribuind la depunerea ECM și la dezvoltarea fibrozei [14]. Expresia și secreția TIMP-1 este strâns legată de activarea HSC, în ceea ce privește numărul de celule activate și fibrogeneza, și rămâne la niveluri ridicate în timpul progresiei fibrozei. Expresia TIMP este, de asemenea, reglată de citokine și factori de creștere. Legarea TIMP-urilor de MMP-urile active pare să provoace depunerea ireversibilă a ECM, ceea ce duce la fibroză. Hormone și colab. [15] a rezumat schematic conceptele cheie implicate în patogenia moleculară a fibrozei hepatice (Fig. 1).

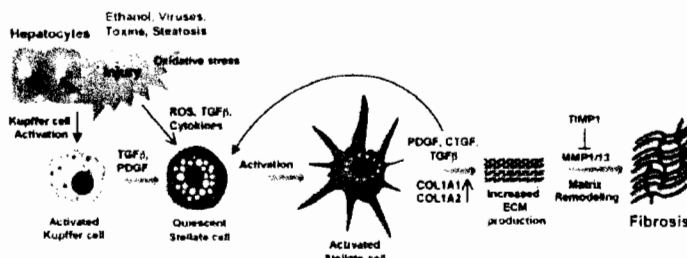
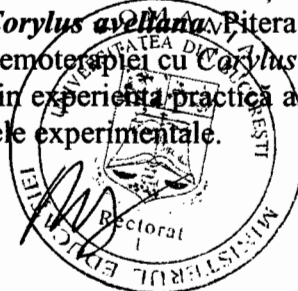
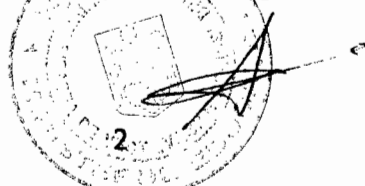


Figura 1: Concepte cheie implicate în activarea celulelor stelate hepatice și patogeneza fibrozei hepatice [15]

Prin urmare, strategiile terapeutice pentru a furniza agenți anti-fibrotici puternici care să aibă ca țintă citokine specifice sau alte biomolecule implicate în progresia fibrozei, capabile să prevină, să întârzie sau să inverseze progresia fibrozei hepatice înainte de stadiul final al cirozei, sunt o provocare.

Gemoterapie este o ramură a fitoterapiei care folosește țesuturile biologice găsite în muguri, îmbogățite în vitamine, oligoelemente, minerale, acizi nucleici și hormoni de creștere comparativ alte țesuturi vegetale [2216]. În plus, gemoterapia conține și alte substanțe active (cum ar fi giberelinele și auxinele) care se pierd dacă o plantă este lăsată să ajungă la o etapă ulterioară a ciclului său de creștere înainte de recoltare [2317]. Țesutul embrionar proaspăt este prelevat primăvara, în cea mai activă fază a ciclului de creștere, pentru a asigura cea mai mare concentrație de substanțe biologic active. Preparatele gemoterapice sunt produse sub formă de amestec glicero-alcoolice pentru a asigura întregul profil al tuturor ingredientelor bichimice extrase și concentrate. Alcoolul extrage toate principiile active ca alcaloizi, heterocite și glicoizide. Glicerina extrage toate uleiurile esențiale, fenolii și flavonoidele.

Corylus avellana (alun comun) este cunoscut și bogat în minerale și vitamine, inclusiv alfa-tocoferol, acid ascorbic, folați, niacină, riboflavină, tiamină și vitamina K sub formă de filochinonă; acizii grași și aminoacizii includ alanina, arginina, acidul aspartic, acidul glutamic și leucina [18, 19]. Uleiul conține acizi grași saturati (7%), acizi grași mono- (78%) și polinesaturati (10%) și fitosteroli (0,1%) [20]. În ulei se găsesc acizi grași oleic, linoleic, linolenic, palmitoleic și steric [18]. Acidul Caffeoylquinic, acidul caffeoyleltartaric, acidul coumaroyltartaric, miricetina, querctetina și fenolii kaempferol se găsesc în frunzele de alun [21]. Cercetări recente au arătat că *Corylus avellana* este capabil să producă paclitaxel [21] și taxol [22] și exercită activitate antioxidantă și de captare a radicalilor [23-25]. Rezultatele unui studiu clinic au arătat că suplimentarea dietei cu alune de pădure 1 g/kg greutate corporală/zi a redus lipoproteinele cu densitate mică și colesterolul total și a crescut lipoproteinele cu densitate mare și trigliceridele [26]. **Până în prezent, nici un articol științific sau un brevet de invenție nu a raportat vreo activitate biologică a extractului gemoterapeutic *Corylus avellana*.** Pitera & Nicoletti [16], în monografia gemoterapie, au menționat beneficiul gemoterapiei cu *Corylus avellana* în bolile hepatice, cu accent în fibroza hepatică, evidențiată din experiența practică a medieilor în plante, dar trebuie argumentată în continuare prin rezultatele experimentale.



97

Crisina (5,7-dihidroxiflavona) este componenta activă majoră a mierii, propolisului și multor extracte din plante. Valoarea medicinală a crisinei a fost recunoscută. Prezintă activități antiinflamatorii [27], anticancerigene [28], cardioprotectoare [29] și antioxidantă [30].

Expunerea detaliată a invenției:

1. Obținerea extractului gemoterapic de *Corylus avellana*

1.1. Recoltarea materialului vegetal: Muguri de Alun, *Corylus avellana* L. se recoltează în lunile februarie-martie, când mugurele încă nu s-a deschis, dar este în stadiul de dezvoltare maximă înainte de a se deschide.

1.2. Conservarea materialului vegetal: Masa vegetală se conservă în amestec glicerină – alcool etilic 96 % vol. (1:1). 1 parte de material vegetal mărunțit se amestecă cu 1 parte amestec glicerină – alcool etilic 96 % vol. (1:1). Se omogenizează amestecul astfel ca materialul vegetal să fie în contact cât mai bun cu solventul. Acest amestec de material vegetal și solvent se poate păstra la temperatură camerei maxim 6 luni de zile.

1.3. Obținerea maceratului glicericic.

Extractul din muguri de Alun se obține conform Farmacopeei Franceze respectiv Farmacopeei Europene, monografia 2.1.3, folosind ca și solvent amestec de glicerină – alcool etilic 96 % vol. (1:1). Planta se prelucrează în stare proaspătă, conservată în amestec de solvent. Din planta mărunțită la o consistență de pastă se preleveză probă pentru determinarea umidității. În funcție de umiditate se calculează raportul de extracție, care este 1:20 partea uscată din plantă – solvent. Extracția se realizează la rece, prin macerare, timp de 20 zile, cu agitații zilnice 2 x 10 minute. După 20 zile de agitare lichidul se decantează de pe masa de material vegetal, care ulterior se supune presării la 350-400 atm, iar lichidul presat este amestecat cu lichidul decantat. Soluția extractivă astfel obținută este extractul gemoterapic din muguri de Alun (CAG).

2. Obținerea și caracterizarea nanocomplexelor de crisina/ciclodextrine

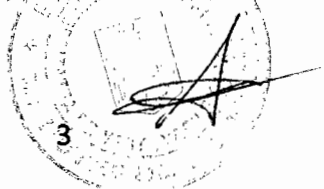
2.1. Prepararea complexelor crisina-cyclodextrine. Crisina a fost formulată cu două β-cyclodextrine diferite pentru a forma complexe de inclusiune cu hidroxipropil- (HPBCD) și ramdomly metilat (RAMEB) β-cyclodextrine la raporturi molare 1: 1.

2.2. Testul de solubilitate. Complexele au fost testate pentru solubilizare în apă. Complexele au fost dizolvate în apă timp de 24 de ore și spectrele de absorbție au fost înregistrate cu spectrofotometru UV.

Tabelul 1. Valorile concentrației și creșterea solubilității crisinei în apă prin complexarea cyclodextrinei (n.d. — nedeterminat) (n = 3). CD: -cyclodextrină, HPBCD: hidroxipropil - cyclodextrină, RAMEB: - cyclodextrină metilată aleator (ramdomly)

	Crisina in H ₂ O	Crisina:RAMEB	Crisina:HPBCD
Raport molar complex	-	1:1	1:1
Concentrația de crisina (ug/ml)	1,01	7,48 0,15	5,72 0,28
Creșterea solubilității	1	7,41	5,22

2.3. Testul de solubilitate de fază a fost efectuat prin adăugarea unei cantități excesive cunoscute de pulbere de crisină. Au fost realizate concentrații crescătoare de crisină în cyclodextrine RAMEB/HPBCD (5-80 mM). Tuburile au fost vortexate timp de 30 de secunde



96

pentru a obține dispersii bine amestecate (temeratura camerei, întuneric). După 72 de ore, fiecare probă a fost centrifugată la 15.000 rpm timp de 10 minute.

Probele au fost preluate din supernatantul clar, iar conținutul de crisină al probelor a fost analizat prin spectrofotometrie (Shimadzu UV-1900). Profilurile de solubilitate de fază ale crizinei au fost realizate de trasând solubilitatea crizinei față de concentrația ciclodextrinelor. Constanta de stabilitate (K_s) ale complexelor crisină-CD au fost calculate din diagrame de solubilitate de fază conform următoarei ecuații:

$$K_s = \frac{\text{slope}}{S_0(1 - \text{slope})}$$

S_0 — Solubilitatea crizinei în apă

Eficiența complexării (CE) și raportul molar medicament:ciclodextrina (D: CD) au fost calculate după cum urmează:

$$\text{CE} = \frac{\text{slope}}{(1 - \text{slope})}$$

$$\text{D:CD} = 1 : (1 + \frac{1}{\text{CE}})$$

Figura 1. prezintă profilurile de solubilitate ale crizinei în prezența RAMEB și HPBCD. Datorită solubilității limitate în apă a CD, cea mai mare concentrație aplicată a fost de 8 mM. Fiecare derivat de ciclodextrină a reușit să îmbunătățească solubilitatea în apă a crizinei în complexe de ciclodextrină, în mod dependent de concentrație.

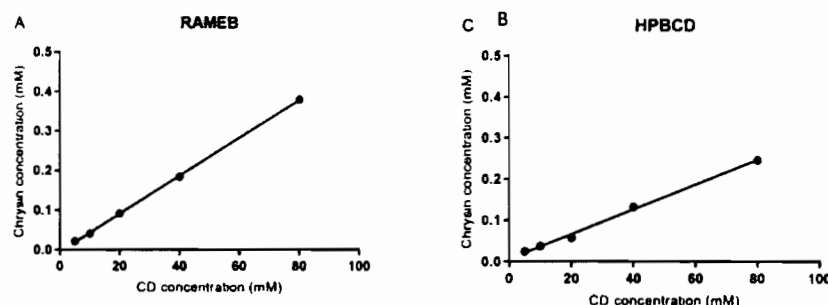


Figura 1. Diagramele de solubilitate de fază ale crizinei cu (A) RAMEB, (B) HPBCD
Constantele de stabilitate (K_s) ale complexelor crisină-ciclodextrină au fost calculate din datele de solubilitate de fază (tabelul 2).

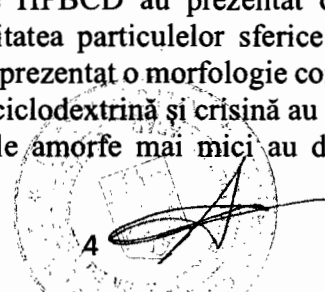
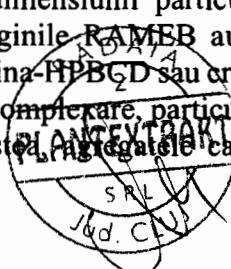
Tabelul 2. Eficiența complexării (CE), constantele de stabilitate (K_s) și raportul molar medicament: ciclodextrină (D: CD) a complexelor crisină – ciclodextrină (n = 3).

Cyclodextrins	K_s (M^{-1})	CE	D:CD
RAMEB	1200	$0.0048 \pm 6.9 \times 10^{-5}$	$1:209 \pm 3$
HPBCD	760	$0.003 \pm 7 \times 10^{-5}$	$1:332 \pm 2$

2.4. Microscopie electronică scanning (SEM)

Morfologia particulelor solide de ciclodextrine, crisină și complexe crisină-ciclodextrină a fost investigată prin SEM (Hitachi S-4300 CFE).

Morfologia crizinei pure și a complexelor de crisină-ciclodextrine au fost examinate prin SEM (Figura 23). Crisina brută a prezentat particule aggregate cu diferite forme și cu un spectru larg al dimensiunii particulelor. Particulele HPBCD au prezentat o formă sferică, în timp ce imaginile RAMEB au arătat că majoritatea particulelor sferice au fost sparte. Complexele crizina-HPBCD sau crizina-RAMEB au prezentat o morfologie complet diferită. După procesul de complexare, particulele originale de ciclodextrină și crisină au fost neidentificabile, cu toate acestea, agregatele care conțin particule amorfă mai mici au dezvăluit interacțiunea dintre



crisină și ciclodextrine. Noua structură formată contribuie la o solubilitate mai mare și la biodisponibilitatea îmbunătățită a crizinei (vezi *Anexa Desene si Planse - Plansa 1*).

3. Obtinerea componetiei fitoterapeutice pe bază de extract gemoterapic de *Corylus avellana* îmbogătit cu nanocomplexe de crisină/ciclodextrine și evaluarea profilului fitochimic al acestuia

3.1. Metodă de obtinere și de analiză pentru evaluarea conținutului de polifenoli

Extractul de gemoterapic de *Coryllus avellana* a fost amestecat atât cu complexe RAMEB-, cât și cu HPBCD-crisină și a fost supus liofilizării. S-au testat diferite rapoarte de extract-complex pentru stabilizarea amestecului prin liofilizare. Cantitatea exces de ciclodextrină a fost, de asemenea, testată pentru stabilizare.

Analiza LC/MS se realizează cu un sistem cromatografic Shimadzu Nexera I LC/MS - 8045 (Kyoto, Japan), care este un system UHPLC echipat cu pompă cuaternară și un spectrometru de masă cu cvadrupoli și ionizare prin pulverizare electronica (ESI).

Separarea se realizează pe o coloană Luna C18 cu fază inversă (150 mm x 4.6 mm x 3 μ m, 100 Å), de la Phenomenex (Torrance, CA, USA). Temperatura de operare a coloanei trebuie să fie de 40°C .

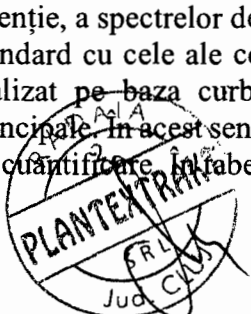
Pentru separarea a cât mai mulți polifenoli se folosește un gradient de fază mobilă (tabel 1), folosind methanol (Merck, Darmstadt, Germania), apă ultrapurificată preparată cu un sistem Simplicity Ultra Pure Water Purification System (Merck Millipore, Billerica, MA, USA) și acid formic, ca și modifier organic (Merck, Darmstadt, Germania). Solvenții folosiți au fost de puritate LC/MS. Faza mobilă trebuie să fie trecută prin coloana cromatografică cu o viteză de 0,5 ml/min, iar timpul total de analiză a fost de 35 minute.

Tabel 3

Temp, min	Metanol	Apă ultrapurificată	acid formic 2 % în apă ultrapurificată
0.00	5	90	5
3.00	15	70	15
6.00	15	70	15
9.00	21	58	21
13.00	21	58	21
18.00	30	41	29
22.00	30	41	29
26.00	50	0	50
29.00	50	0	50
29.01	5	90	5
35.00	5	90	5

Detectia componentelor se realizează cu un spectrometru de masă cu cvadrupoli având sursa de ioni cu electrospray (ESI). Pentru monitorizarea reacțiilor multiple (MRM), pentru detectarea cu sensibilitate maximă, se folosește atât modul negativ cât și modul pozitiv de detectare. Temperatura interfeței a fost de 300°C , gazul de uscare a fost azotul la 35 psi, 10 l/min, iar potențialul de capilar a fost setat la +3000 V.

Ca și standarde se folosesc polifenolii din tabelul 5. În cazul fiecărui standard, la fiecare concentrație s-au injectat câte 1 μl . Identificarea s-a realizat prin compararea timpilor de retenție, a spectrelor de masa respectiv a tranzițiilor principale din aceste spectre a substanelor standard cu cele ale compușilor separați din probele analizate. Determinările cantitative au realizat pe baza curbelor de calibrare a fiecărei substanțe standard, la nivelul tranziției principale. În acest sens pentru fiecare standard s-a determinat limita de detecție respectiv limita de quantificare. În tabelul 3 sunt date detaliiile din spectrele de masă.



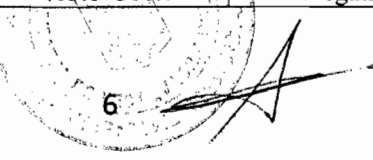
Extractele de Corylus avellana MG și cele îmbogățite cu crizină pe ciclodextrină s-au diluat cu metanol, identic cu cel folosit la analiza LC/MS, în raport 1 la 10. Soluțiile diluate s-au trecut prin microfilter de 0,45 µm (Merck Millipore, Billerica, MA, USA).

Tabel 4

Standardul și originea sa	Intervalul de concentrații mg/ml	Ecuată curbei de calibrare	Factorul de corelație	Limita de detecție, µg/ml	Limita de cuantificare, µg/ml
Acid clorogenic (Phytolab, Vestenbergsgreuth, Germania)	0.13 – 1.30	Area = $2 \cdot 10^8 \cdot \text{conc[mg/ml]} - 269699$	0.9997	5.00	8.00
Acid galic (Phytolab, Vestenbergsgreuth, Germania)	0.107-1.070	Area = $8 \cdot 10^6 \cdot \text{conc[mg/ml]} - 37131$	0.9999	1.90	2.80
Acid salicilic (Merck, Darmstadt, Germania)	0.16 – 1.60	Area = $4 \cdot 10^7 \cdot \text{conc[mg/ml]} + 44120$	0.9997	1.50	2.00
Apigenină (Phytolab, Vestenbergsgreuth, Germania)	0.10 – 0.98	Area = $2 \cdot 10^8 \cdot \text{conc[mg/ml]} + 15916$	0.9999	0.20	0.30
Catechină (Merck, Darmstadt, Germania)	0.101 – 1.010	Area = $5 \cdot 10^6 \cdot \text{conc[mg/ml]} - 1706$	0.9984	1.00	2.00
Crizină (Merck, Darmstadt, Germania)	0.10 – 1.00	Area = $1 \cdot 10^8 \cdot \text{conc[mg/ml]} - 82818$	0.9997	3.00	5.00
Cvercetină (Phytolab, Vestenbergsgreuth, Germania)	0.09 – 0.91	Area = $5 \cdot 10^7 \cdot \text{conc[mg/ml]} - 9556$	0.9964	0.80	1.10
Hiperozidă (Phytolab, Vestenbergsgreuth, Germania)	0.012 – 0.107	Area = $4 \cdot 10^8 \cdot \text{conc[mg/ml]} - 567182$	0.9986	0.60	0.90
Luteolin-7-O-glucozidă (Phytolab, Vestenbergsgreuth, Germania)	0.07 – 0.70	Area = $1 \cdot 10^9 \cdot \text{conc[mg/ml]} - 700317$	0.9990	3.00	4.00
Naringenină (Phytolab, Vestenbergsgreuth, Germania)	0.16 – 1.60	Area = $3 \cdot 10^8 \cdot \text{conc[mg/ml]} - 43443$	0.9999	0.60	0.90
Rutozidă (Phytolab, Vestenbergsgreuth, Germania)	0.17 – 1.70	Area = $2 \cdot 10^8 \cdot \text{conc[mg/ml]} - 191937$	0.9996	4.00	6.00

Tabel 5

Standardul	Timp de retenție, min	m/z, și tranziția principală	MRM	Alte tranziții
Acid clorogenic	12.0	353.0>191.0	Negativ	
Acid galic	7.0	168.9>125.0	Negativ	
Acid salicilic	23.5	137.0>93.0	Negativ	137.0>75.0 137.0>65.0
Apigenină	28.2	269.0>117.0	Negativ	
Catechină	10.3	289.0>202.9	Negativ	
Crizină	29.7	253.0>143.0	Negativ	253.0>119.0 253.0>107.0
Cvercetină	25.7	300.9>151.0	Negativ	300.9>121.0
Hiperozidă	20.3	463.1>300.0	Negativ	463.1>301.0



Luteolin-7-O-glucozidă	19.9	447.0>284.9	Negativ	
Naringenină	26.3	271.0>119.0	Negativ	271.0>107.0
Rutozidă	20.3	609.0>300.0	Negativ	609.0>301.0 609.0>271.0

Codificarea probelor:

EGMA_02.2019 = Corylus avellana MG seria din februarie 2019

EGMA_03.2019 = Corylus avellana MG seria din martie 2019

EGMA_01.2020 = Corylus avellana MG seria din ianuarie 2020

EGMA_02.2020 = Corylus avellana MG seria din februarie 2020

CA_RAMEB_CHR_PEG = Corylus avellana MG + RAMEB + CHR-RAMEB complex + Polietilen-glicol

CA_HPBCD_CHR_PEG = Corylus avellana MG + HPBCD + CHR-HPBCD complex + Polietilen-glicol

CA_RAMEB_CHR = Corylus avellana MG + RAMEB + CHR-RAMEB complex

CA_HPBCD_CHR = Corylus avellana MG + HPBCD + CHR-HPBCD complex

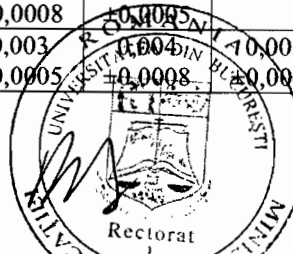
În **Plansele 2, 3 și 4a si 4b** sunt prezentate chromatogramele LC/MS, spectrele de masă și curbele de calibrare obținute pentru standarde (vezi Anexa Desene si Planse - Plansa 2-4).

În **Plansele 5 – 12** sunt prezentate chromatogramele LC/MS ale probelor studiate (vezi Anexa Desene si Planse - Plansa 5-12).

În **Plansele 13 – 20** spectrele de masa ale polifenolilor identificați și cuantificați (vezi Anexa Desene si Planse - Plansa 13-20).

Rezultatele datelor determinărilor cantitative sunt prezentate în **Tabelul 6**.

Standard	Proba (mg/ml)							
	EGMA_02.2019	EGMA_03.2019	EGMA_01.2020	EGMA_02.2020	CA_RAMEB_CHR_PEG	CA_HPBCD_CHR_PEG	CA_RAMEB_CHR	CA_HPBCD_CHR
Acid clorogenic	0,360 ±0,0111	0,360 ±0,0178	0,430 ±0,0354	0,340 ±0,0327	0,041 ±0,0041	0,021 ±0,0042	0,064 ±0,0045	0,016 ±0,0041
Acid galic	0,080 ±0,0054	0,070 ±0,0082	0,070 ±0,0082	0,080 ±0,0082				
Acid salicilic		0,040 ±0,0111	0,070 ±0,0082	0,060 ±0,0082			0,011 ±0,0026	
Apigenină		0,003 ±0,0005	0,002 ±0,0005					
Catechină	0,160 ±0,0227	0,100 ±0,0041	0,190 ±0,0327	0,130 ±0,0205	0,016 ±0,0033	0,014 ±0,0041	0,025 ±0,0073	
Crizină	0,100 ±0,0041	0,090 ±0,0041	0,090 ±0,0041	0,090 ±0,0041	5,775 ±0,1310	5,273 ±0,1219	5,830 ±0,0942	5,948 ±0,2796
Cvercetină	0,020 ±0,0037	0,080 ±0,0094	0,110 ±0,0178	0,070 ±0,0082				
Hiperozidă	2,000 ±0,0653	2,000 ±0,0653	2,270 ±0,0425	2,030 ±0,0525	0,295 ±0,0525	0,145 ±0,0262	0,505 ±0,0374	
Luteolin-7-O-glucozidă	0,070 ±0,0056	0,070 ±0,0082	0,070 ±0,0082	0,070 ±0,0082	0,007 ±0,0005	0,007 ±0,0008	0,007 ±0,0045	
Naringenină	0,020 ±0,0041	0,020 ±0,0041	0,020 ±0,0041	0,030 ±0,0047	0,002 ±0,0005	0,003 ±0,0005	0,003 ±0,0008	0,003 ±0,0005



92

Rutozidă	0,580 ±0,0535	0,600 ±0,0455	0,570 ±0,0785	0,580 ±0,0838	0,082 ±0,0049	0,044 ±0,0056	0,145 ±0,0241	
----------	------------------	------------------	------------------	------------------	------------------	------------------	------------------	--

4. Testarea *in vitro* a proprietăților antifibrotice ale compozitiei fitoterapeutice pe bază de extract gemoterapic de *Corylus avellana* îmbogătit cu nanocomplexe de crisină/ciclodextrine

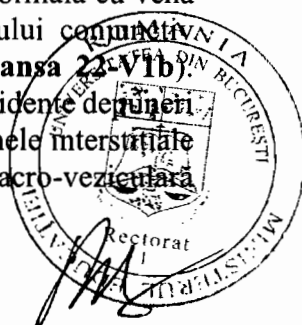
Evaluarea *in vitro* a activității anti-fibrotice a complexelor extract gemoterapic de alun - crisină/RAMEB și extract gemoterapic de alun -crisină/HPBCD, prin analiza expresiei markerului pro-fibrotic TGF-β1, atât la nivel genic, cât și proteic. A fost analizată expresia markerului fibrotic TGF-β1 în celule hepatice stelate (HSC) din linia celulară LX2. În HSC latente, expresia TGF-β1 a fost redusă la nivel proteic (Fig 1a) și genic (Fig 1b), însă în urma activării prin stimulare cu TGF-β1, expresia acestui marker a fost crescută (Fig 1B). Tratamentul cu ambele complexele investigate, CAG-CHR/Cyclo, a redus semnificativ expresia TGF-β1 față de controlul activat, ceea ce indică eficiența complexelor de a inhiba calea de semnalizare TGF-β1/SMAD și implicit, activarea HSC. Complexul CAG-CHR/RAMEB s-a dovedit a fi mai eficient decât CAG-CHR/HPBCD în a induce reversia celulelor HSC activate către o stare de latență. Rezultatele au fost confirmate și la nivelul expresiei genice TGF-β1. În urma administrării celor două tipuri de complexe, nivelul expresiei a fost statistic semnificativ redusă față de controlul activat, cu un nivel de semnificație statistică mai mare în cazul complexului cu RAMEB ($p<0.01$) față de HPBCD ($p<0.05$). (Plansa 21).

5. Testarea *in vivo* a proprietăților antifibrotice ale compozitiei fitoterapeutice pe bază de extract gemoterapic de *Corylus avellana* îmbogătit cu nanocomplexe de crisină/ciclodextrine un continut de crisină

Protocolul experimental a fost aprobat de Comitetul de Etică a Cercetării din Universitatea de Vest Vasile Goldis (152/02.10.2019).

Pentru experiment au fost utilizati șoareci masculi CD1 din biobaza Universității de Vest Vasile Goldiș din Arad. Șoareci au fost injectați, ip, cu o singură doză de streptozotocină (STZ; 65 mg·kg⁻¹ greutate corporală), solubilizată în tampon citrat (50 mM, pH 4,5) pentru a induce diabetul zaharat. Nivelurile de glucoză din sânge au fost măsurate după 4 ore de inanție, folosind un glucometru. După administrarea STZ, șoareci cu un nivel de glucoză din sânge mai mare de 2,5 g·l⁻¹ timp de două săptămâni consecutive au fost considerați șoareci cu diabet de tip 2 și inclusi în studiu. Animalele cu diabet confirmat au fost tratați intraperitoneal (ip) cu CCl₄ dizolvat în ulei de măslini (20% v/v, 2 ml/kg), de două ori pe săptămână, timp de 7 săptămâni, și sacrificiați la șaptezeci și două de ore după ultima injecție pentru confirmarea fibrozei hepatice (Lotul 2). Rezoluția spontană a fibrozei hepatice a fost investigată la animalele diabetice tratate cu CCl₄ după două săptămâni de recuperare (Lotul 3). Pentru a evalua efectul antifibrotic al produsului combinat extract gemmoterapic *Coryllus avelana*-nanocomplex CHR/cyclo, tratamentul a început la sfârșitul celor 7 săptămâni de tratament cu CCl₄, utilizând administrarea prin gavaj zilnic timp de 14 zile consecutive a următoarelor: extract gemoterapic *Coryllus avelana*-crisina/ciclodextrine (CAG-CHR/Cyclo - Lotul 4), extract gemmoterapic *Coryllus avelana* (CAG - Lotul 5), nanocomplex de crisină/ciclodextrină (CHR/Cyclo - Lotul 6) și crisină pură (CHR - Lotul 7). Toate produsele conțin 100 mg/kg de crisină. Șoareci aparținând lotului 1 (martor -a.sanatos, b.diabetic), 2 (șoareci fibrotici) și 3 (rezoluția *de novo* a fibrozei) li s-au administrat vehiculele grupelor tratate. Animalele au fost sacrificiate la 24 de ore sub anestezie după ultima doză administrată (loturile 1, 3, 4, 5, 6, 7).

Analiza histologică a ficatului lotului martor a indicat o arhitectură lobulară normală cu vena centrolobulară și cordoane de hepatocite radiare, fără o proliferare a țesutului ~~conectiv~~ ^{conjunctiv} intralobular (Plansa22-V1a) și o ușoară dilatare a capilarelor sinusoidale (Plansa 22-V1b). Probele de ficat din lotul CCl₄ au prezentat modificări severe ale morfologiei, evidente depuneri de colagen, formarea de pseudolobuli și infiltrarea de celule inflamatorii în zonele intersitiale hepatice. De asemenea, se observă numeroase hepatocite cu steatoză micro- și macro-veziculară.



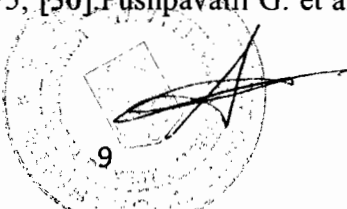
gl

și congestia capilarelor sinusoide (**Plansa 22-V2**). Se remarcă prezența „hepatocitelor spumoase” (foamy) perivenulare hipertrofiate cu acumulare masivă de grăsime microveziculară. După două săptămâni de recuperare *de novo*, în lipsa unui tratament de recuperare, se observă prezența semnificativă a țesutului fibros și a pseudo-lobulilor, acompaniate de infiltrate de celule inflamatorii, comparativ cu grupul CCl₄ (Fig.8-V3). Hepatocitele hipertrofiate cu citoplasma spumoasă sunt prezente. În cazul grupului de șoareci tratați timp de 2 săptămâni cu extract gemmotерапic *Coryllus avellana* (**Plansa 22-V5**), nanocomplex de crisina/cyclodextrină (**Plansa 22-V6**), după instalarea fibrozei, ariile fibrotice au fost reduse (insulare), comparativ cu cele înregistrate în cazul grupului CCl₄. Infiltrate inflamatorii în ariile perivasculare se pastrează și de asemenea și congestia sinusoidelor. Microsteatoza hepatică este prezentă la aceste loturi. Șoareci cărora li s-a administrat extract gemoterapic *Coryllus avellana*-crisina/cyclodextrine au prezentat o histo-arhitectură apropiată de cea a martorului și peste grupul V1b – control diabetic (**Plansa 22-V4**). Cea mai slabă recuperare structurală s-a înregistrat pentru șoareci cărora li s-a administrat doar crisina pură (**Plansa 22-V7**). Formarea septelor fibrotice perilobulare și pseudolobulilor a fost confirmată în colorație tricromică pentru lotul V2 (**Plansa 23-V2**) și în egală măsură la lotul de reversie *de novo* a fibrozei (Fig.9-V3). Colagen insular se mai evidențiază la administrarea CHR pur (fig.9-V7), mai puțin la CHR/Cyclo (**Plansa 23-V4**), a CAG (**Plansa 23-V5**) unde septele sunt intrerupte iar colagenul apare mai mult pericentrolobular, și sporadic la grupul tratat cu CAG-CHR/Cyclo, comparabil cu martorii sanatosi și diabetic (**Plansa-V6**).

BIBLIOGRAFIE

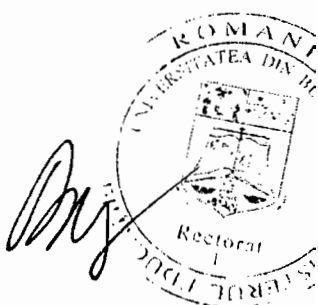
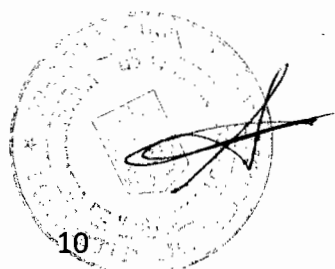
- [1] Sudharsanan N. et al., 1990-2008. *Population HealthMetrics*, 2015, 13(1):33; [2] GBD 2015 *The lancet*, 2016, 388:1459–1544; [3] NCD Risk Factor Collaboration (NCD-RisC). *The Lancet*, 2016, 387(10027): 1513–1530; [4] García-Compeán D. et al. *Ann Hepatol*, 2012, 11:240-248; [5] Musso G. et al. *JAMA Internal Medicine*, 2017, 177(5):633–640; [6] Petta S. et al. *Am J Gastroenterol*, 2008, 103(5):1136–1144; [7] D’Souza R. et al. Insulin resistance plays a significant role in liver fibrosis in chronic hepatitis C and in the response to antiviral therapy. *Am J Gastroenterol*, 2005, 100(7): 1509–1515; [8] Ratziu V. et al. *J Hepatol*, 2003, 39(6):1049-55; [9] Harrison S. A. *J Clin Gastroenterol*, 2006, 40(1):68–76; [10] Li X. et al. *BioMed Res Int*, 2019:5308308; [11] Trombetta M. et al. *Alimentary Pharmacology and Therapeutics*, 2005, 22(2):24-27; [12] Friedman S.L. *Toxicology*, 2008, 254(3):120–129; [13] Mallat A., Lotersztajn S. *Am J Physiol Cell Physiol*, 2013, 305:C789–C799; [14] Iredale J.P. et al. *Biochim. Biophys. Acta*, 2013, 1832(7):876–883; [15] Mormone E. et al. *Chemico-biological interactions*, 2011, 193(3):225-231; [16] Pitera Di Clima F.P., Nicoletti M., Gemmoterapia – Fondamenti scientifici della moderna meristemoterapia, Ed. Nova Ipsa, Ed.2, 2016-2018, ISBN 978-88-7676-693-0; [17] D. Surcel, S. Soescu, N. Olah, M. Ciumașu-Rimbu, *Acta gemmotherapeutica*, vol. 1, Editura Napoca Star, Cluj-Napoca, 2012, ISBN: 978-973-647-880-2, 16/286 pg; [18] Crews C. et al. *J Agric Food Chem*, 2005, 53:4843-4852; [19] Alasalvar C. et al. *J Agric Food Chem*, 2003, 51:3790-3796; [20] Amaral J.S. et al. *J Agric Food Chem*, 2006, 54:449-456; [21] Salehi M. et al. New synergistic co-culture of *Corylus avellana* cells and *Epicoccum nigrum* for paclitaxel production. *Journal of Industrial microbiology & Biotechnology*, 2019, 46(5):613-623; [22] Bemani E. et al. *Journal of Natural Medicine*, 2013, 67(3):446-451; [23] Alberti A. et al. *Natural Product Communications*, 2016, 11(4):469-474; [24] Oliveira I. et al. *Food Chemistry*, 2007, 105(3):1018-1025; [25] Reithmuller E. et al. *Nat Prod Commun*, 2016, 11(5):641-644; [26] Durak I. et al. *Clin Chim Acta*, 1999, 284:113-115; [27] Shin E.K. et al. *Biochem. Biophys. Res. Commun.*, 2009, 381:502–507; [28] Khan M.S. et al. *Toxicol Appl. Pharmacol.*, 2011, 251:85–94; [29] Anghel N. et al. *Histology and Histopathology*, 2015, 30(12):1465-1475; [30] Pushpavalli G. et al. *Eur. J. Pharmacol.*, 2010,

631/06.15



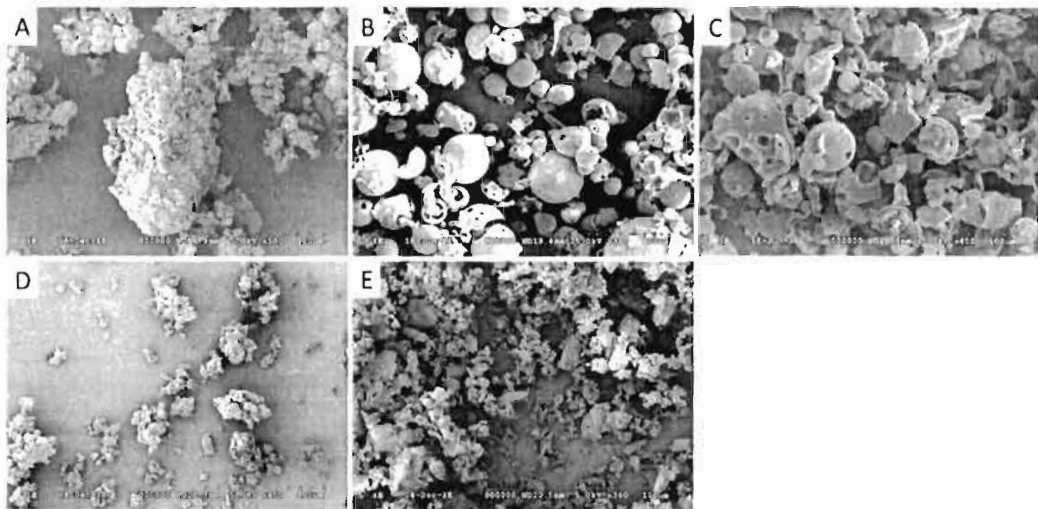
REVENDICĂRI

1. Procedeu de obținere a unei noi compozиii fitoterapeutice pe bază de extract gemoterapic de *Corylus avellana* îmbogățit cu nanocomplexe de crisină/cyclodextrine, **caracterizat prin aceea că** este constituit din următoarele faze:
 - a. Obținerea extractului gemoterapic de *Corylus avellana* include recoltarea și conservarea materialului vegetal, obținerea maceratului glicerinic
 - b. Obținerea și caracterizarea nanocomplexelor de crisină/cyclodextrine include prepararea complexelor crisină/cyclodextrine și testul de solubilitate
 - c. Obținerea compozиiei fitoterapeutice pe bază de extract gemoterapic de *Corylus avellana* îmbogățit cu nanocomplexe de crisină/cyclodextrine și evaluarea profilului fitochimic al acestuia prin analiză LC/MS pentru determinarea profilului polifenolic
2. Procedeu, conform revendicării nr.1, **caracterizat prin aceea că** solubilitatea crisienei în apă prin complexarea cu cyclodextrine, la un raport molar de 1:1, a crescut de 7,41 ori în cazul complexelor crisină/RAMEB, respectiv de 5,22 în cazul complexelor crisină/HPBCD
3. Procedeu, conform revendicării nr.1, **caracterizat prin aceea că** preparatul gemoterapic de *Corylus avellana* se obține folosind ca și solvent amestec de glicerină – alcool etilic 96 % vol. (1:1) din muguri de alun în stare proaspătă. Extracția se realizează la rece, prin macerare, timp de 20 zile, la un raport de 1:20 planta-solvent.
4. Procedeu, conform revendicării nr.1, **caracterizat prin aceea că** noua compozиie fitoterapeutică pe bază de extract gemoterapic de *Corylus avellana* îmbogățit cu nanocomplexe de crisină/cyclodextrine obținut prin liofilizare se analizează în ceea ce privește conținutul chimic cantitativ de polifenoli prin analiză LC/MS, rezultând un conținut de crisină de $5,830 \pm 0,0942$ pentru compozиia cu crisină/RAMEB, respectiv $5,948 \pm 0,2796$ pentru compozиia cu crisină/HPBCD, comparativ cu $0,100 \pm 0,004$ în extractul gemoterapic de *Corylus avellana*
5. Procedeu de testare *in vitro* a activității anti-fibrotice a noii compozиii fitoterapeutice pe bază de extract gemoterapic de *Corylus avellana* îmbogățit cu nanocomplexe de crisină/cyclodextrine pe celule hepatice stelate (HSC) din linia celulară LX2, **caracterizat prin aceea că** expresia genică și proteică a markerului pro-fibrotic TGF- β 1 a fost statistic semnificativ redusă față de controlul activat, cu un nivel de semnificație statistică mai mare în cazul complexului cu RAMEB ($p<0.01$) față de HPBCD ($p<0.05$).
6. Procedeu de testare *in vitro* a activității anti-fibrotice a noii compozиii fitoterapeutice pe bază de extract gemoterapic de *Corylus avellana* îmbogățit cu nanocomplexe de crisină/cyclodextrine, **caracterizat prin aceea că** aspectul histologic al ficatului la șoareci cu fibroză hepatică indușă experimental (septe fibroas și pseudolobuli, „hepatocitelor spumoase” foamy perivenulare hipertrofiate cu acumulare masivă de grăsimi microveziculară), a fost semnificativ îmbunătățit după tratamentul oral cu compozиii fitoterapeutice pe bază de extract gemoterapic de *Corylus avellana* îmbogățit cu nanocomplexe de crisină/cyclodextrine

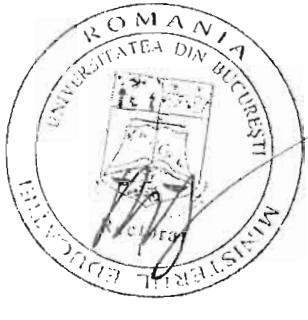
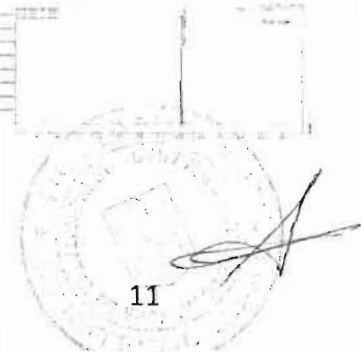
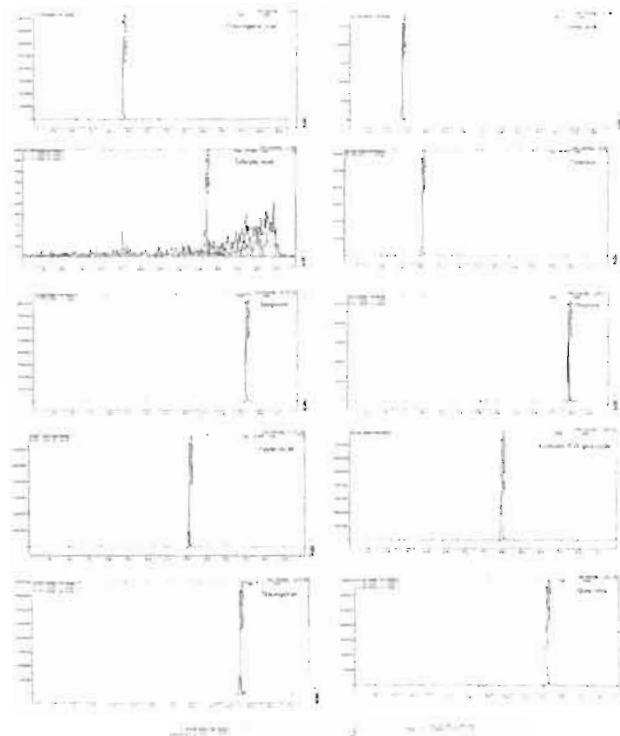


DESENE EXPLICATIVE/ PLANSE

Plansa 1. Imagini SEM – Crisina pură (A), HPBCD (B), RAMEB (C), complex crisina-HPBCD (D) și complex crisina-RAMEB (E)

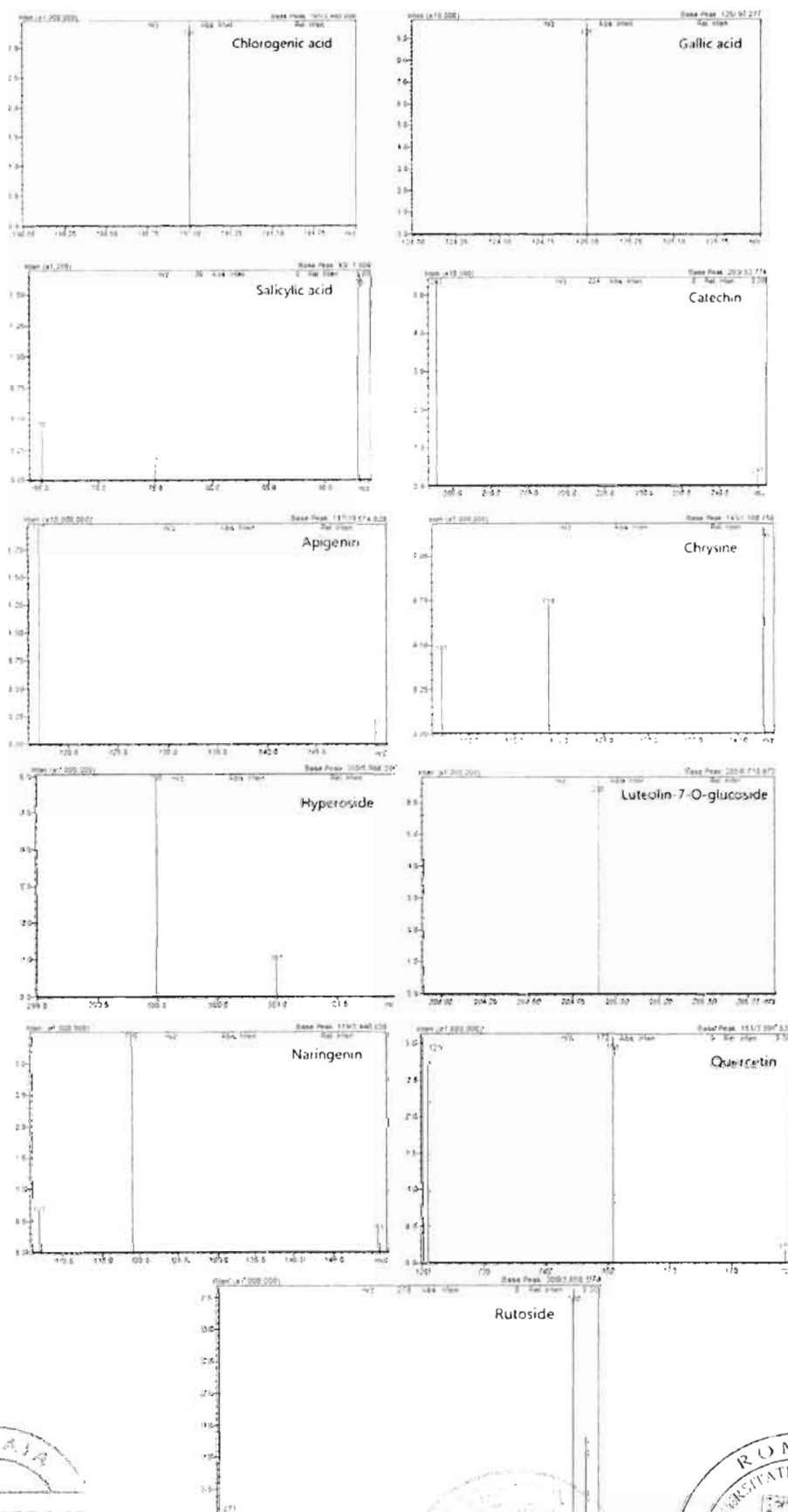


Plansa 2. Cromatogramele LC/MS ale standardelor

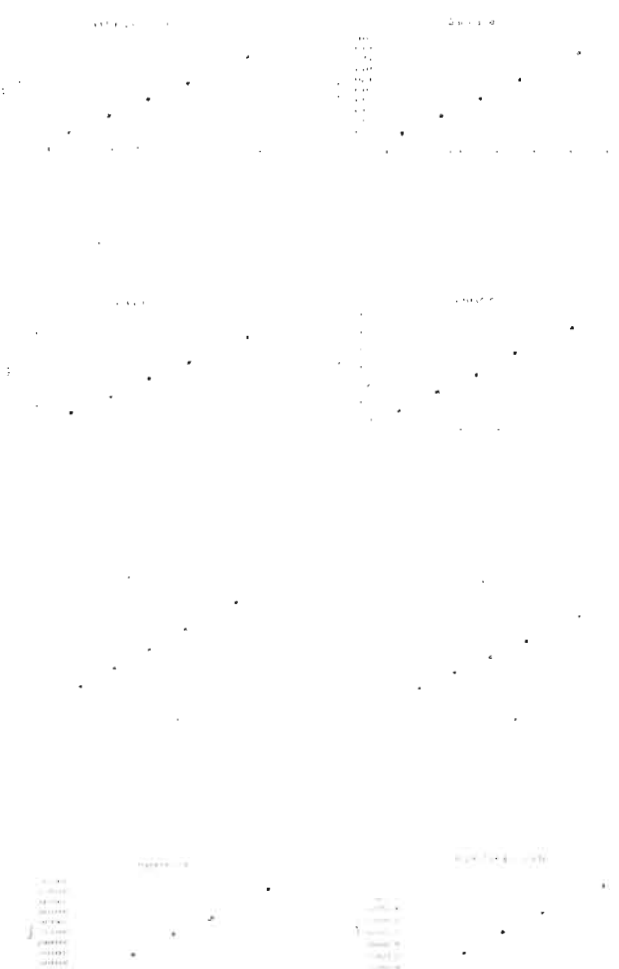
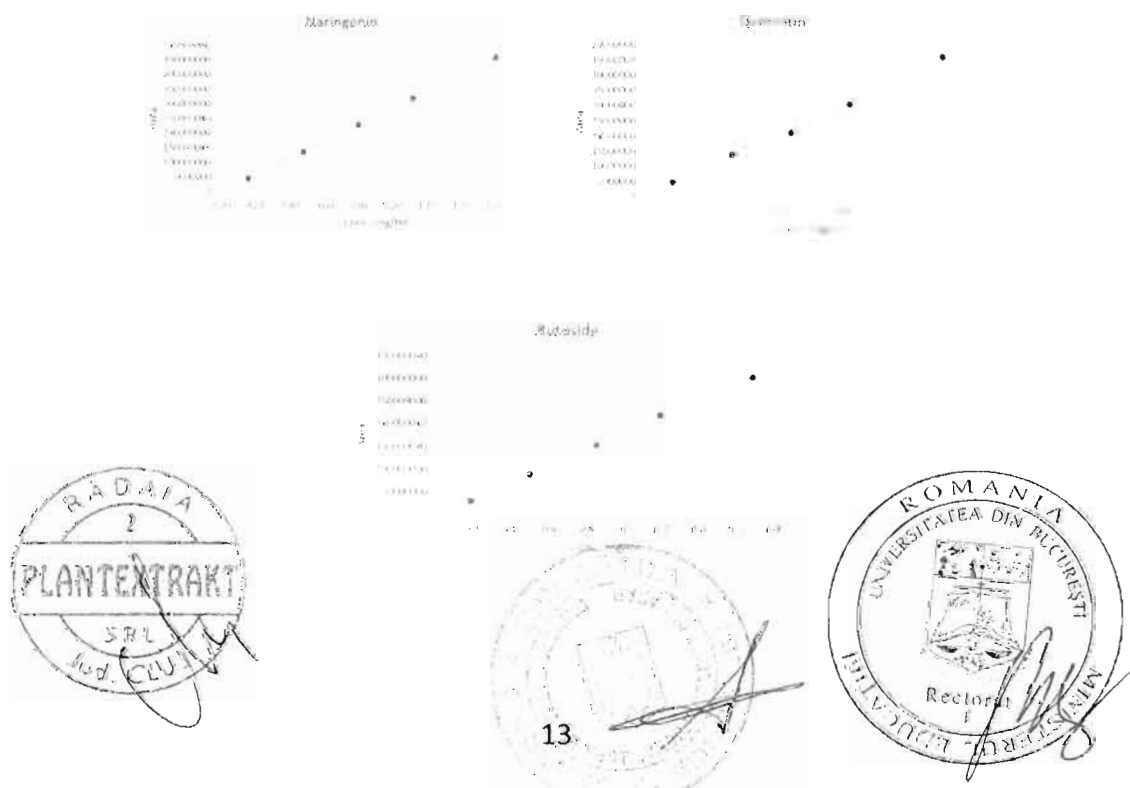


88

Plansa 3. Spectrele de masă ale standardelor

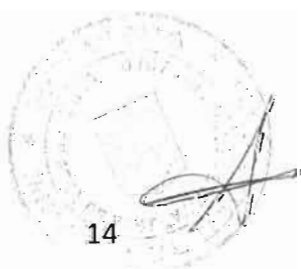
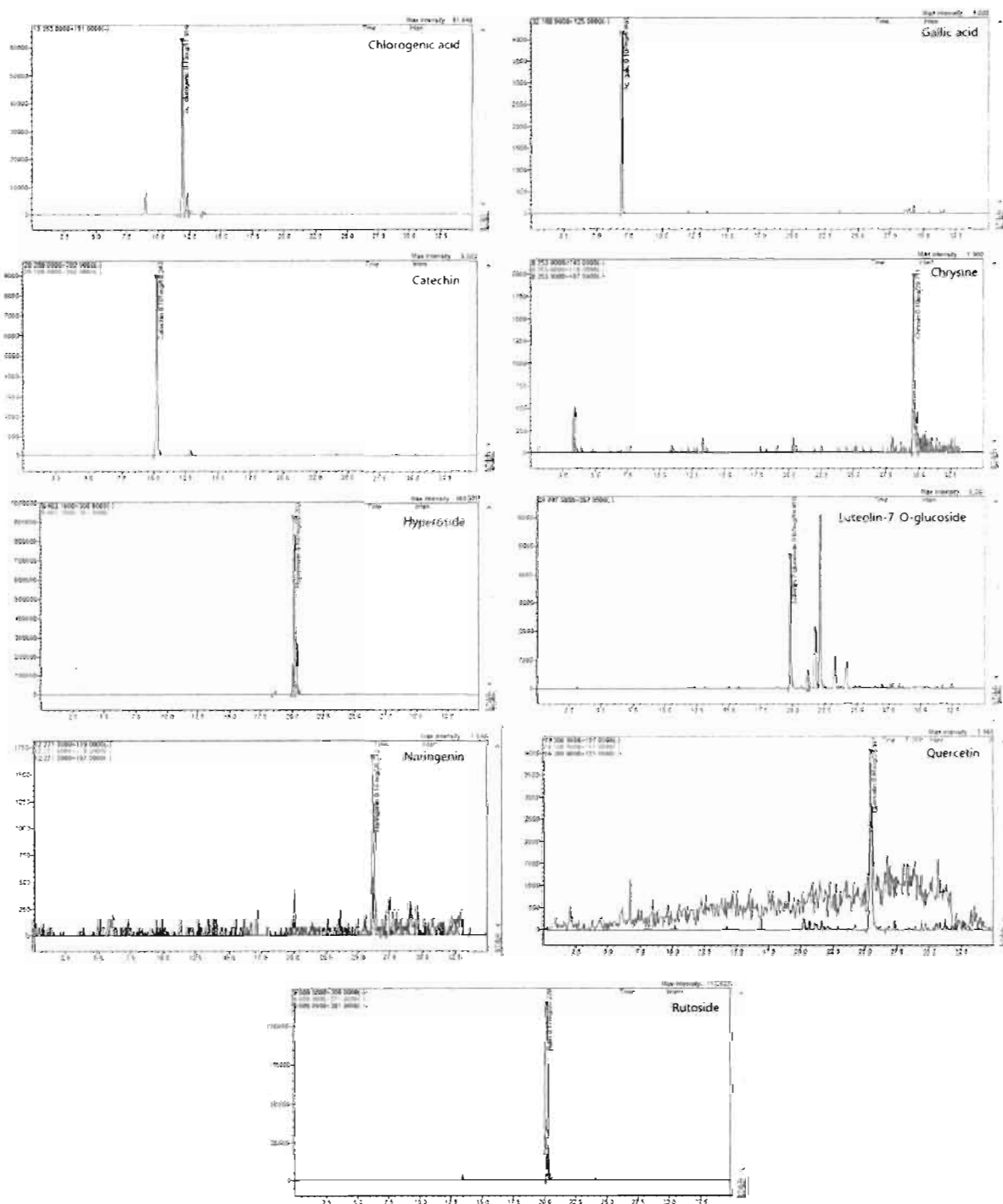


87

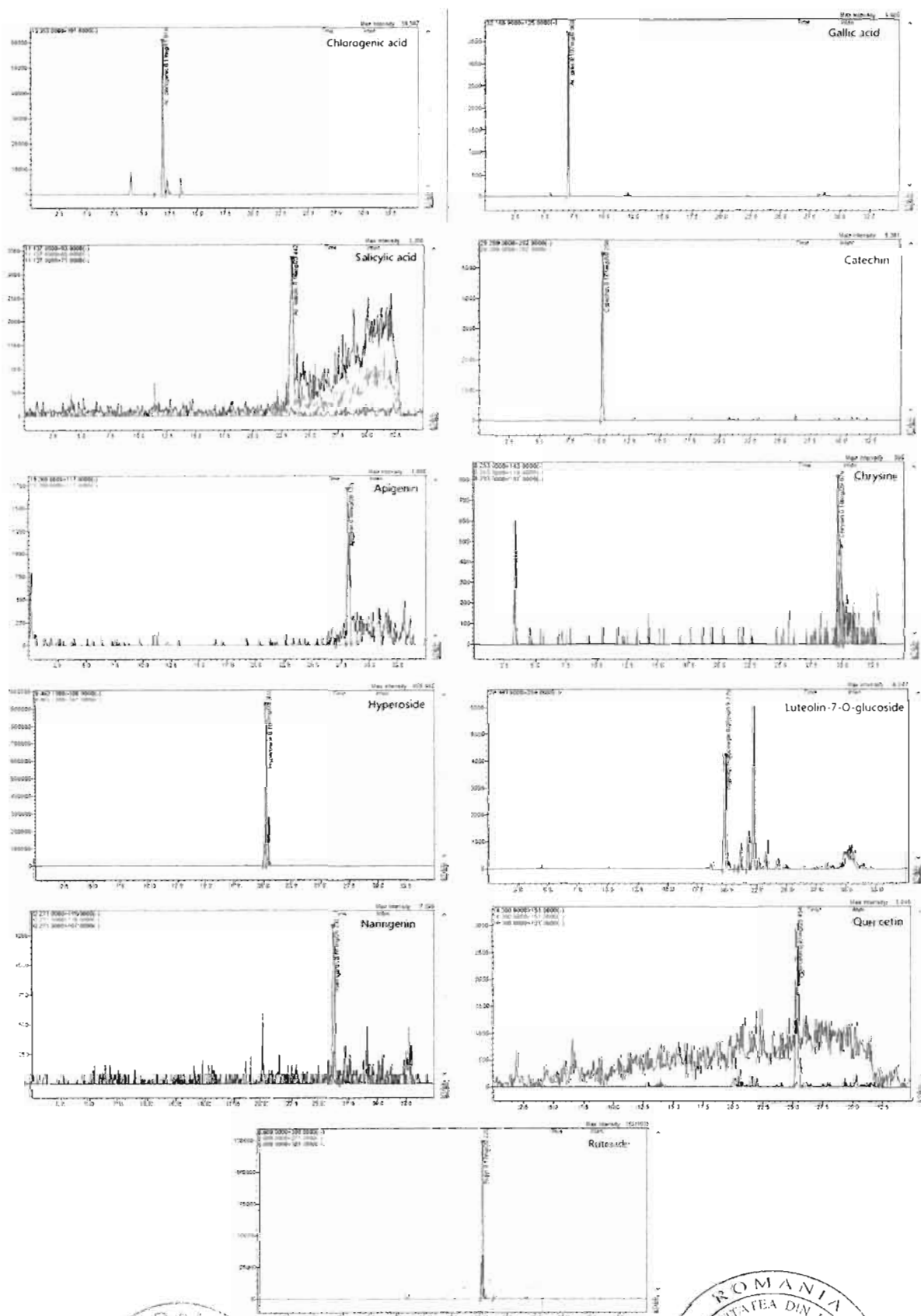
Plansa 4a. Curbele de calibrare ale substanțelor standard**Plansa 4b. Curbele de calibrare ale substanțelor standard**

86-

Plansa 5. Cromatogramele LC/MS ale EGMA_02.2019

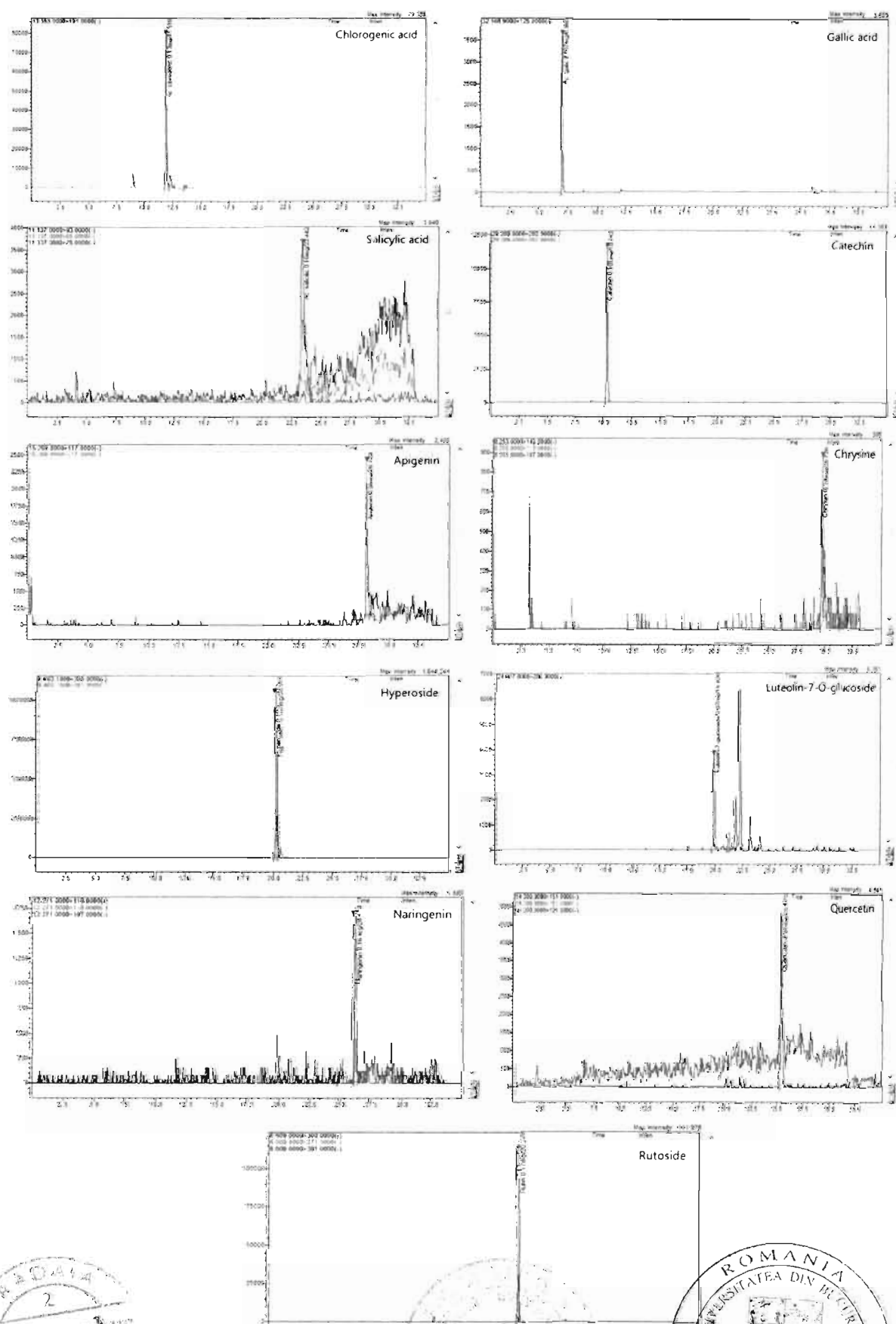


Plansa 6. Cromatogramele LC/MS ale EGMA_03.2019

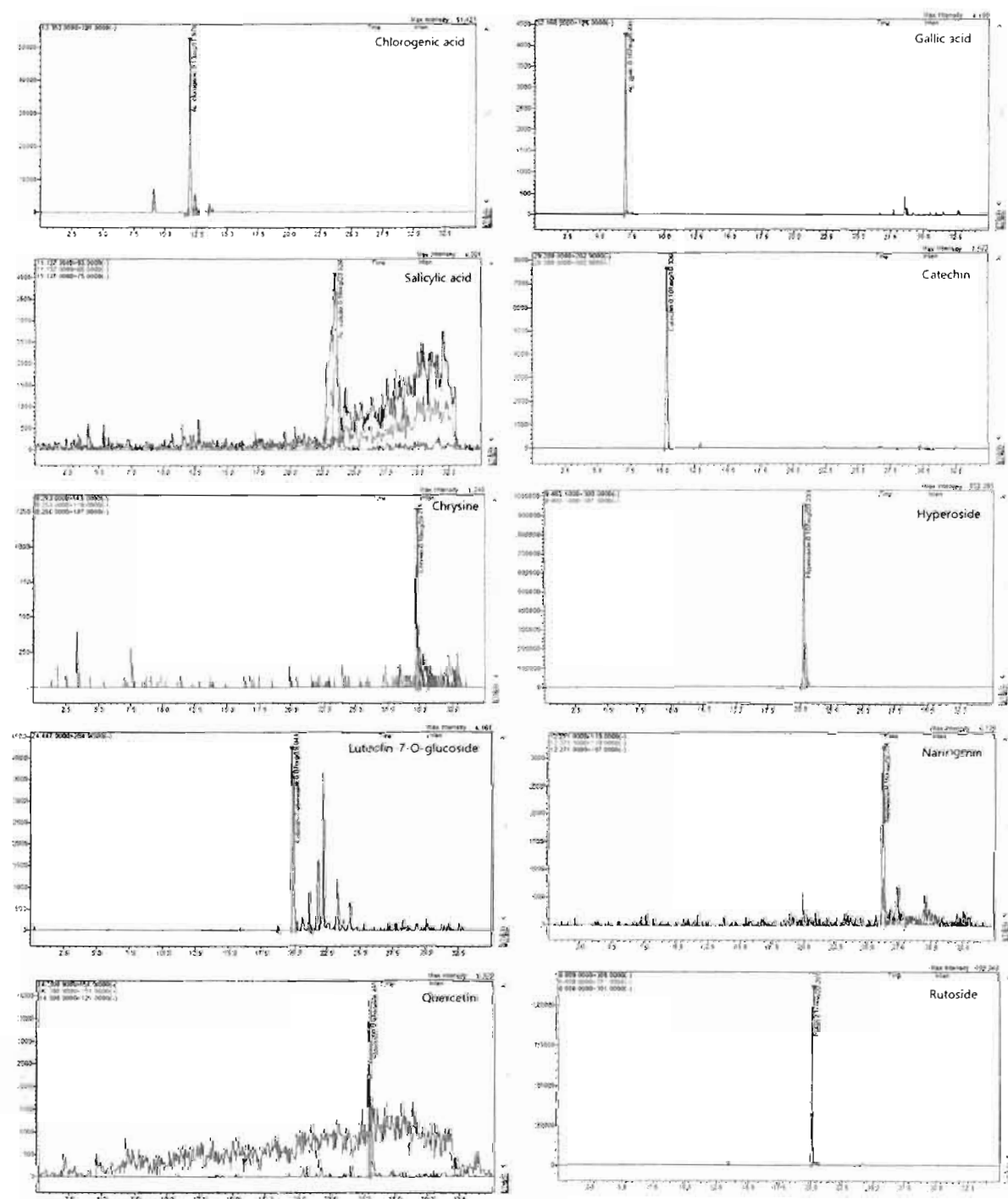


84

Plansa 7. Cromatogramele LC/MS ale EGMA_01.2020

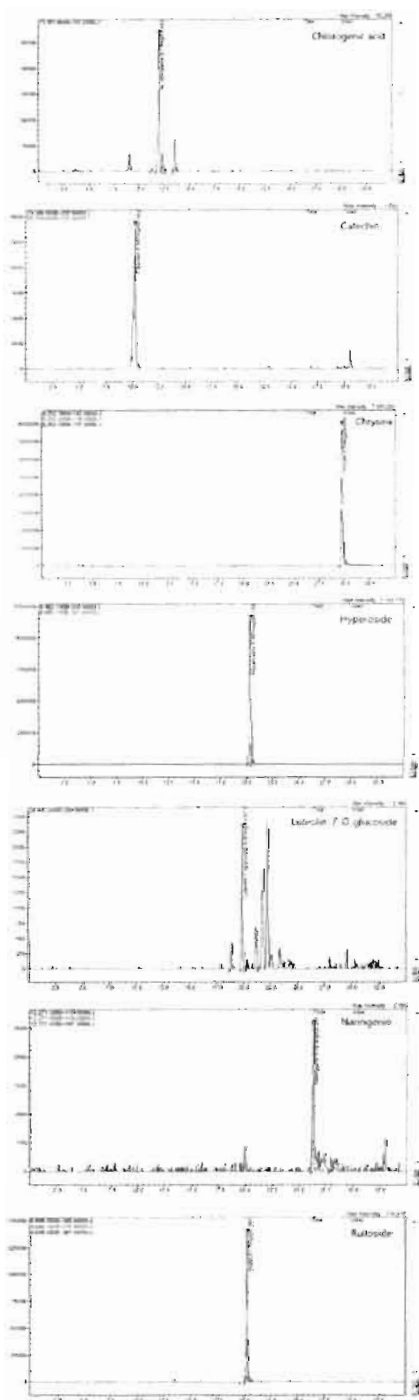


Plansa 8. Cromatogramele LC/MS ale EGMA_02.2020



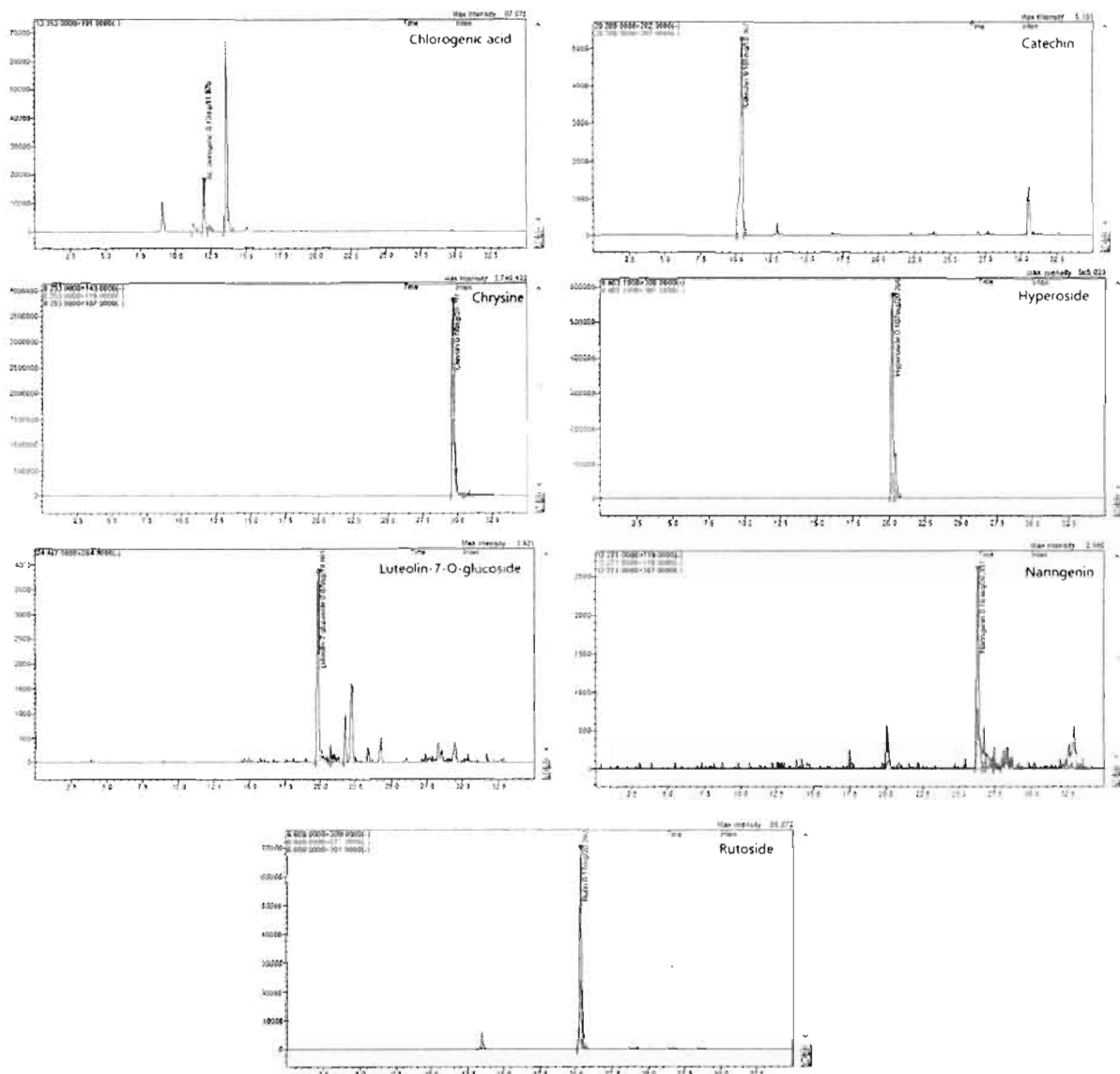
82

Plansa 9. Cromatogramele LC/MS ale CA_RAMEB_CHR_PEG



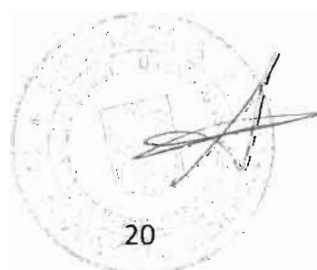
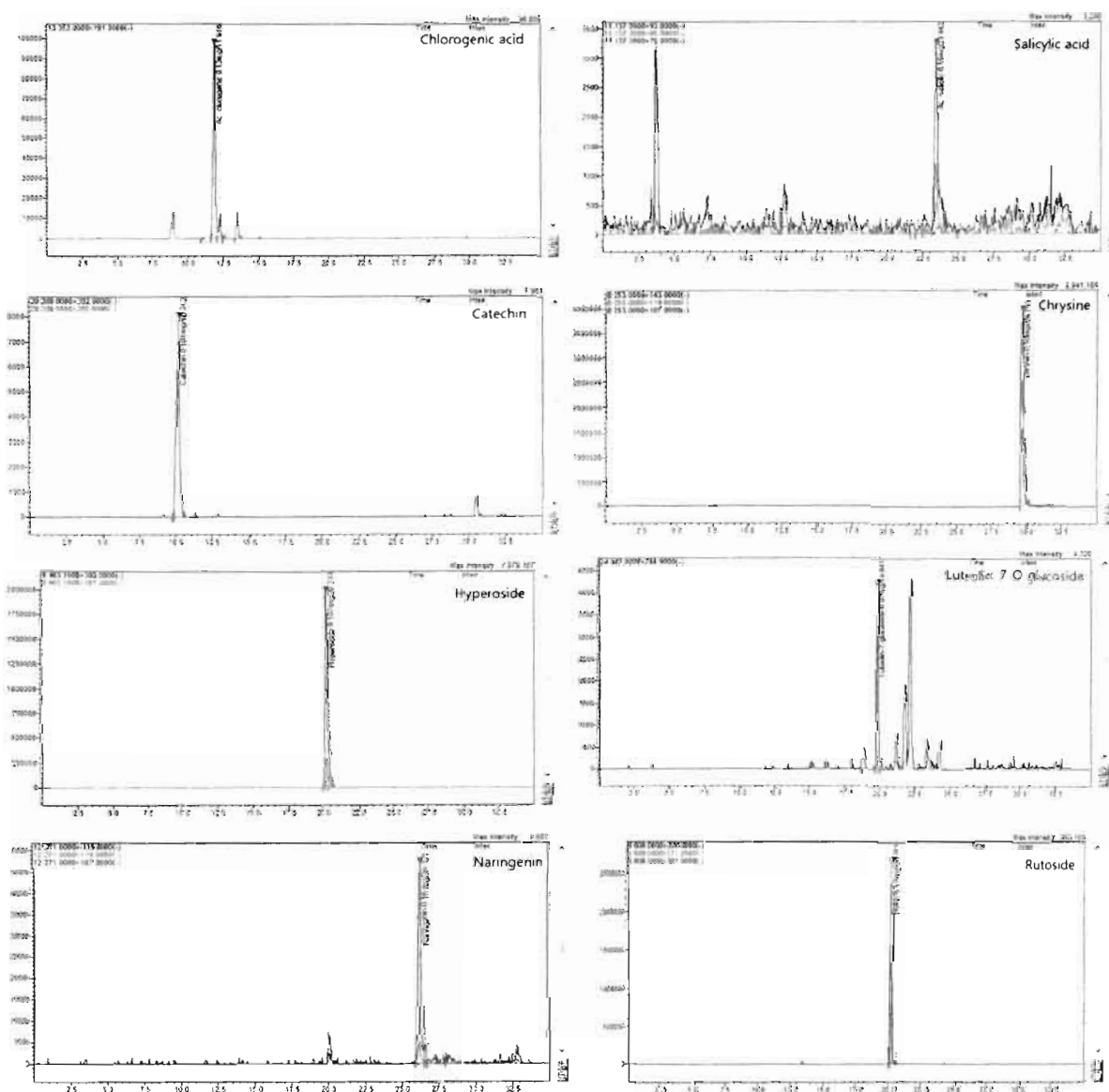
81

Plansa 10. Cromatogramele LC/MS ale CA_HPBCD_CHR_PEG



80

Plansa 11. Cromatogramele LC/MS ale CA_RAMEB_CHR



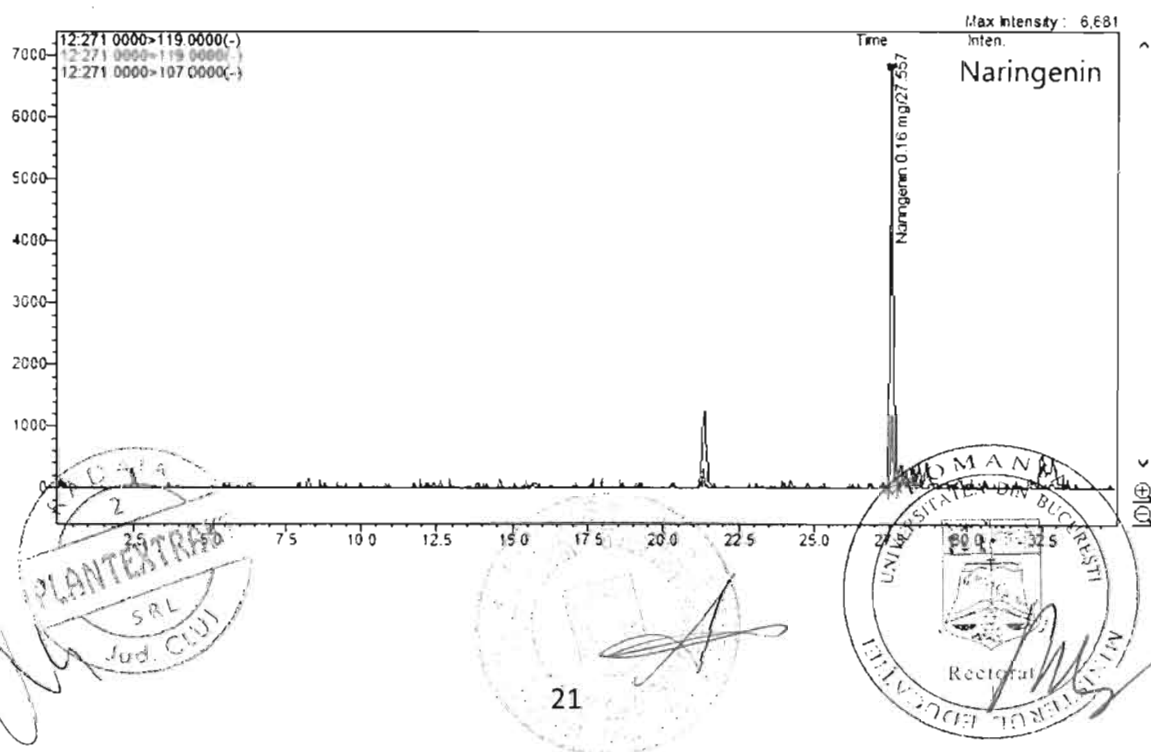
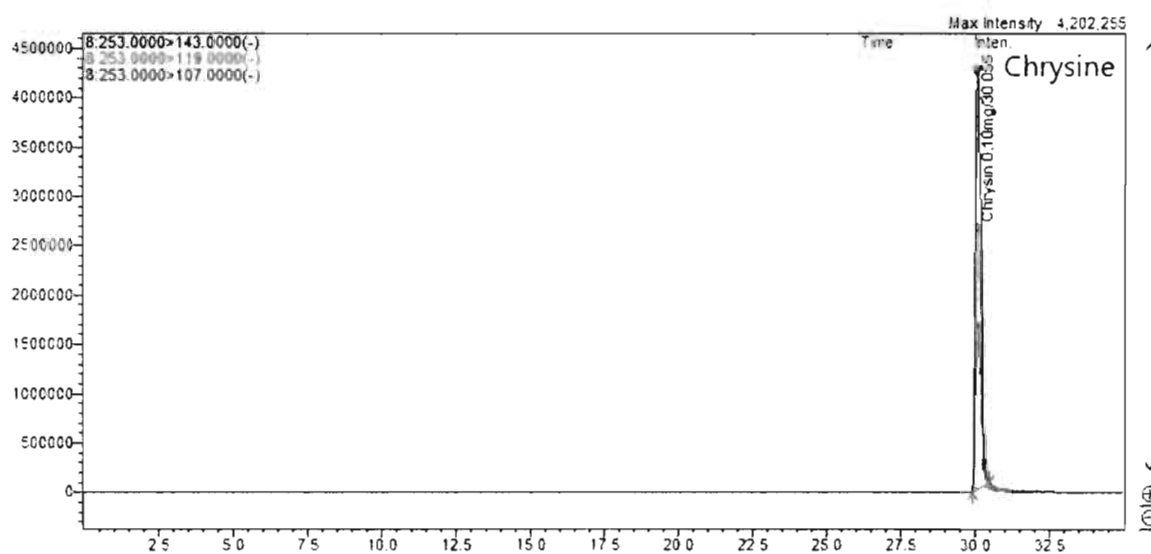
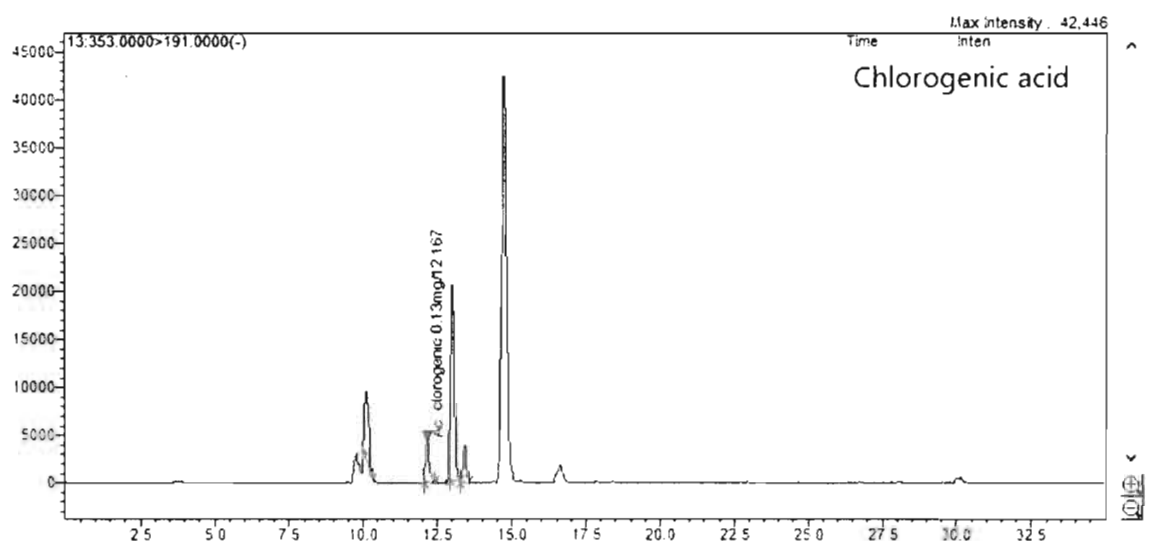
20



Rectorat

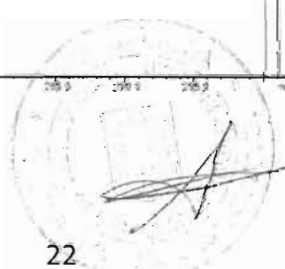
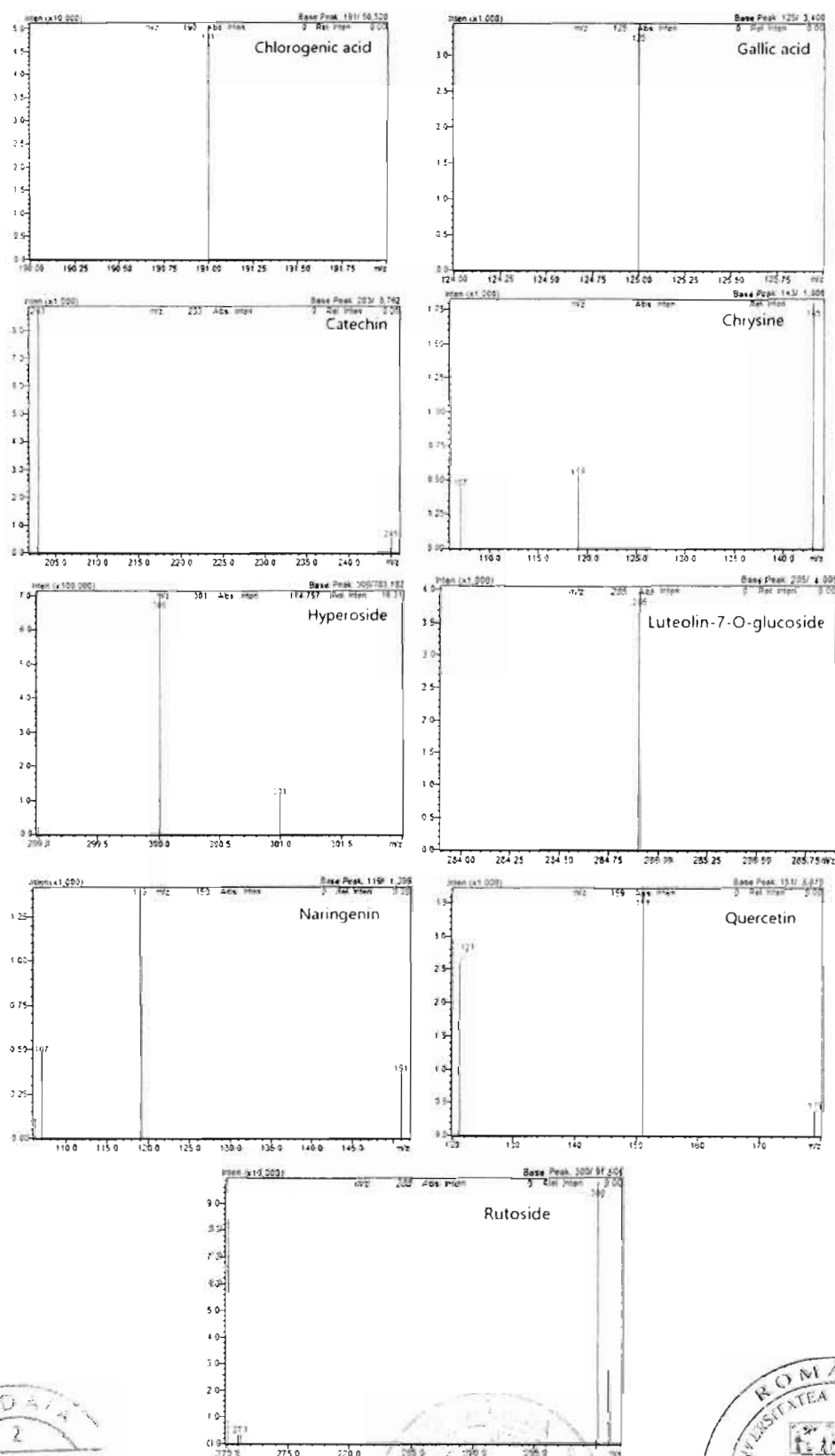
79

Plansa 12. Cromatogramele LC/MS ale CA_HPBCT_CHR

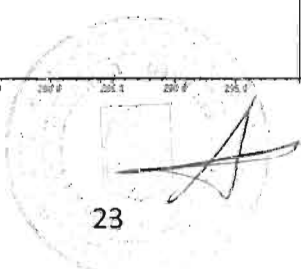
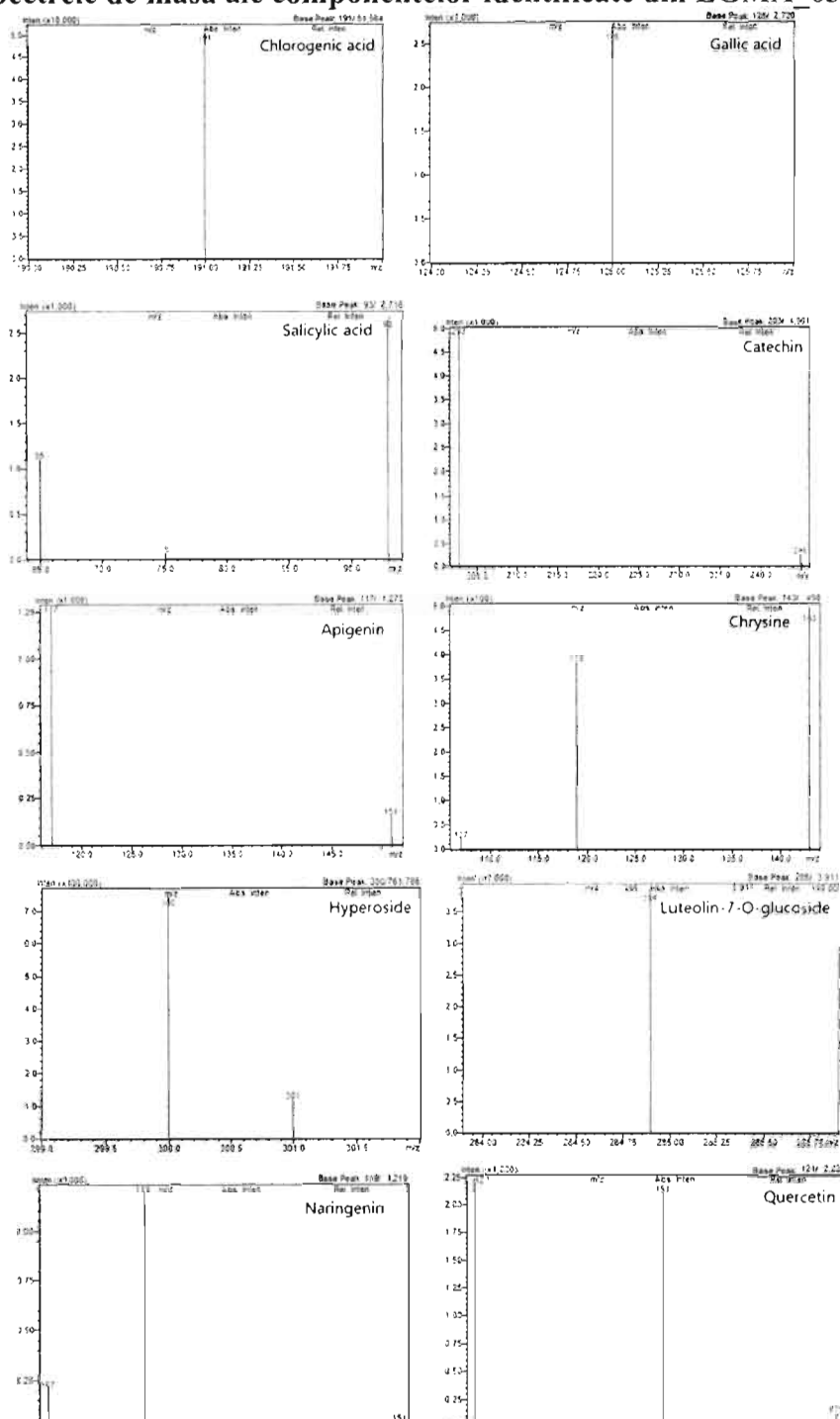


78

Plansa 13. Spectrele de masă ale componentelor identificate din EGMA_02.2019

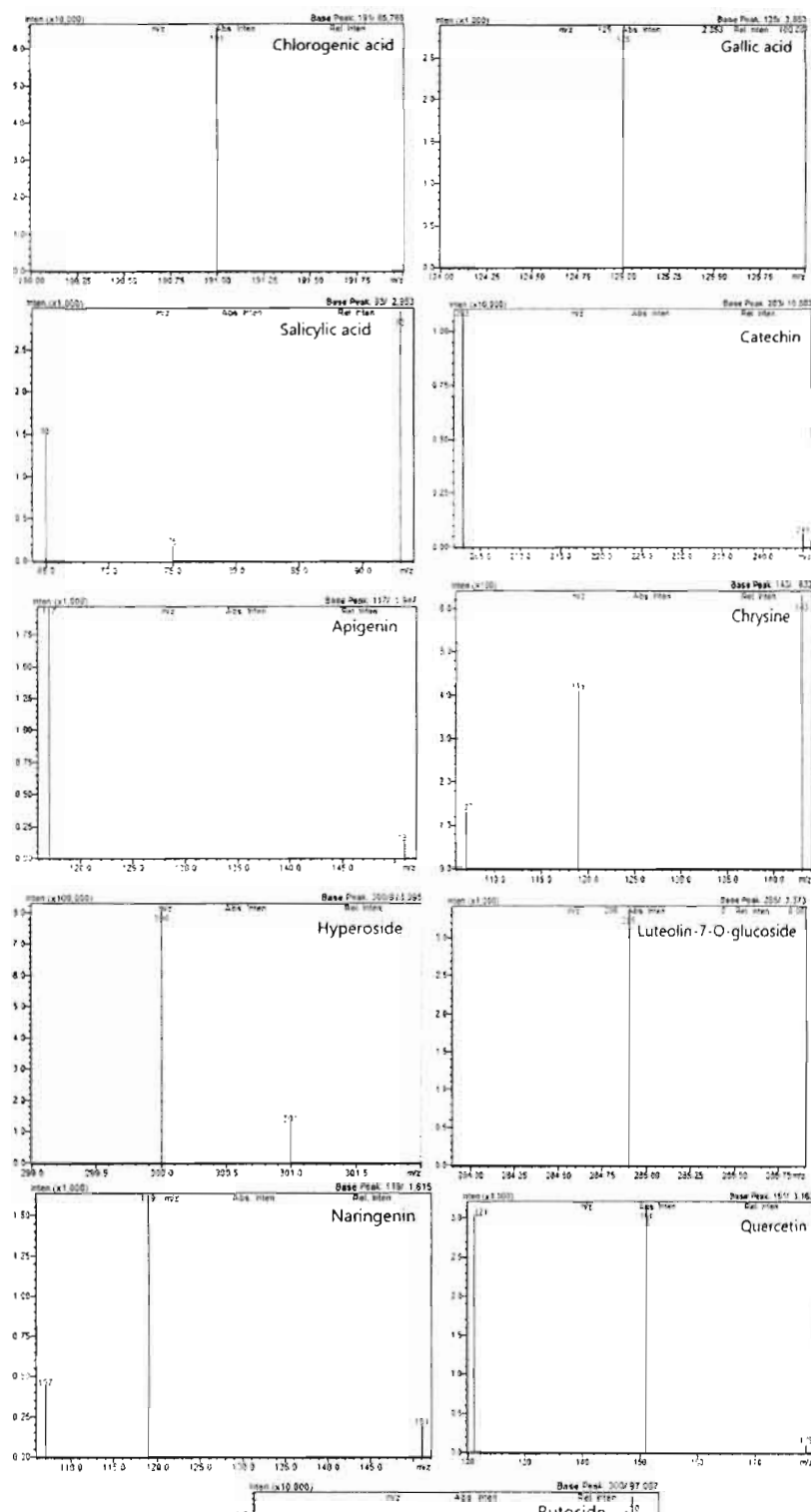


Plansa 14. Spectrele de masă ale componentelor identificate din EGMA_03.2019



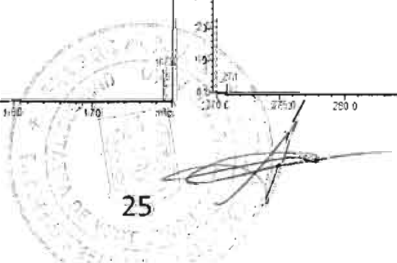
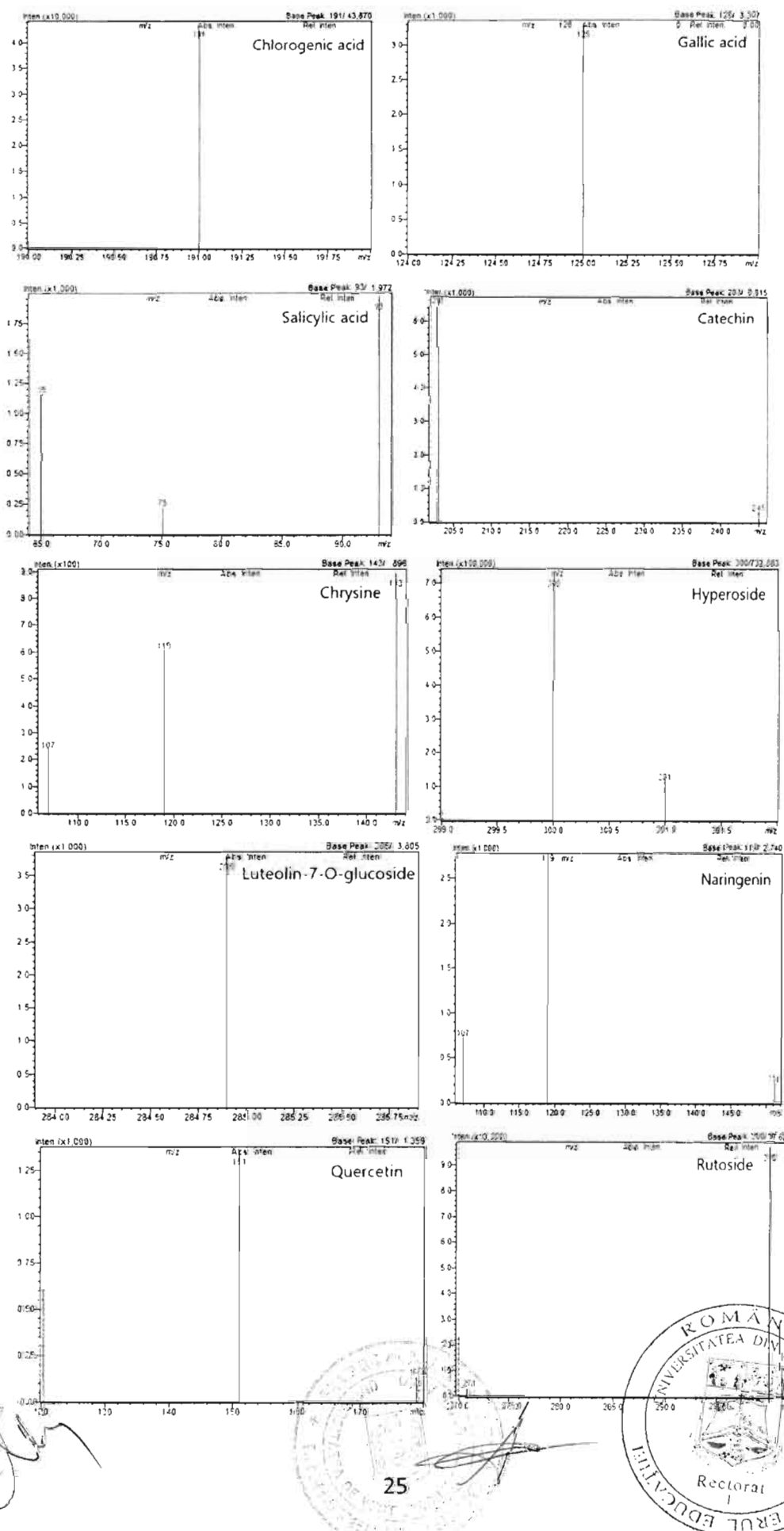
76

Plansa 15. Spectrele de masă ale componentelor identificate din EGMA_01.2020



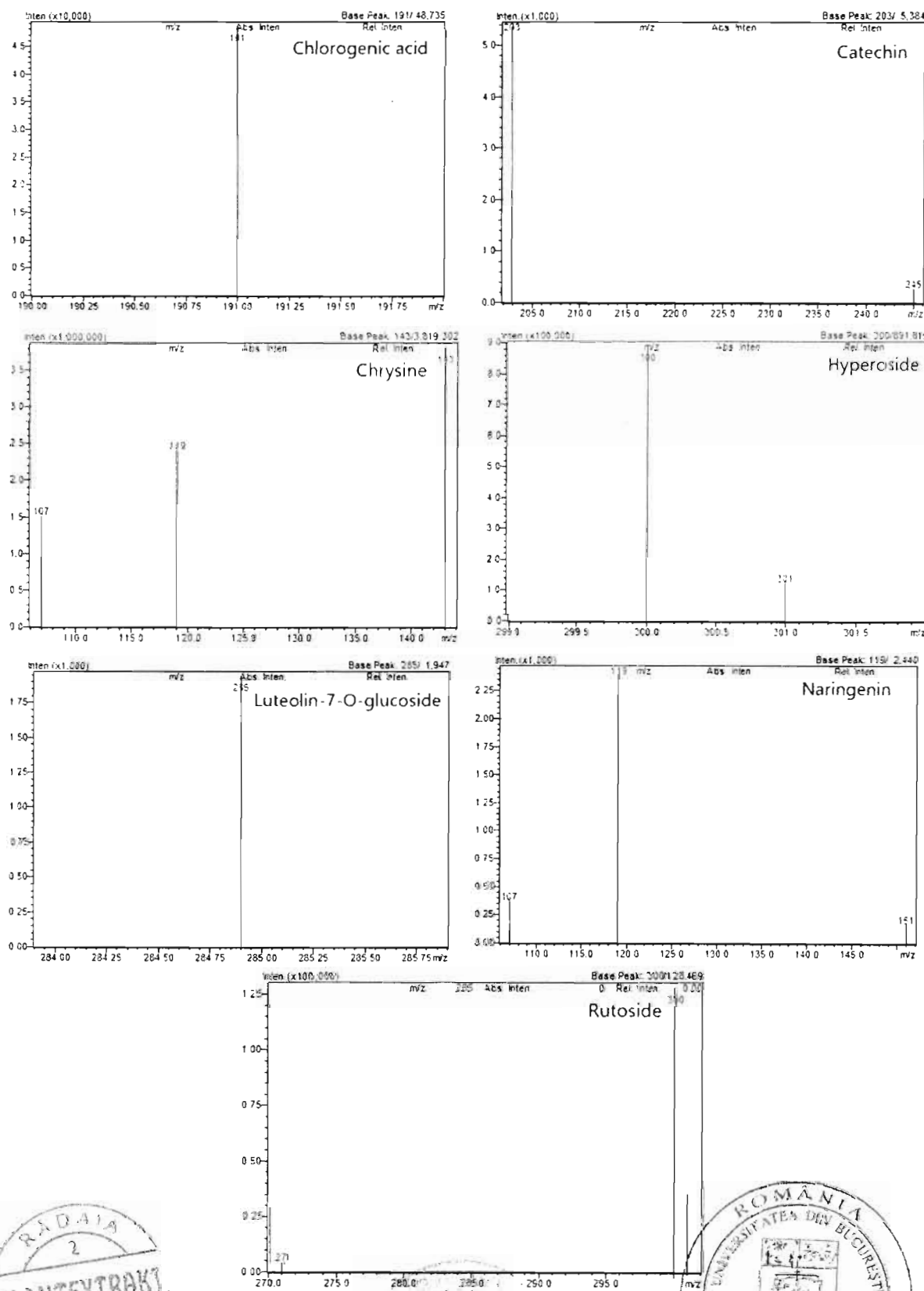
75

Plansa 16. Spectrele de masă ale componentelor identificate din EGMA_02.2020



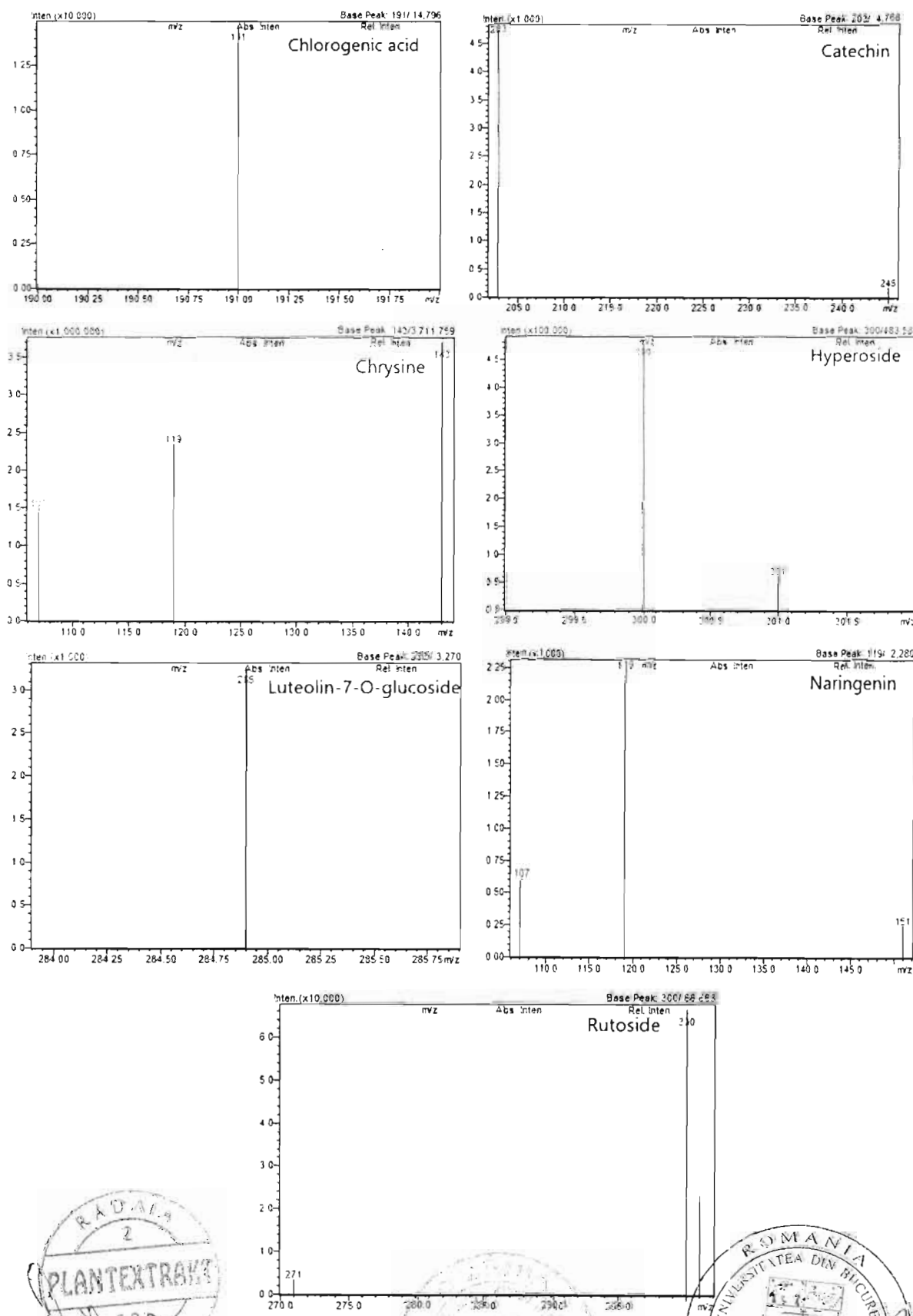
74

Plansa 17. Spectrele de masă ale componentelor identificate din CA_RAMEB_CHR_PEG



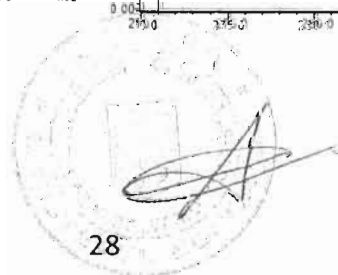
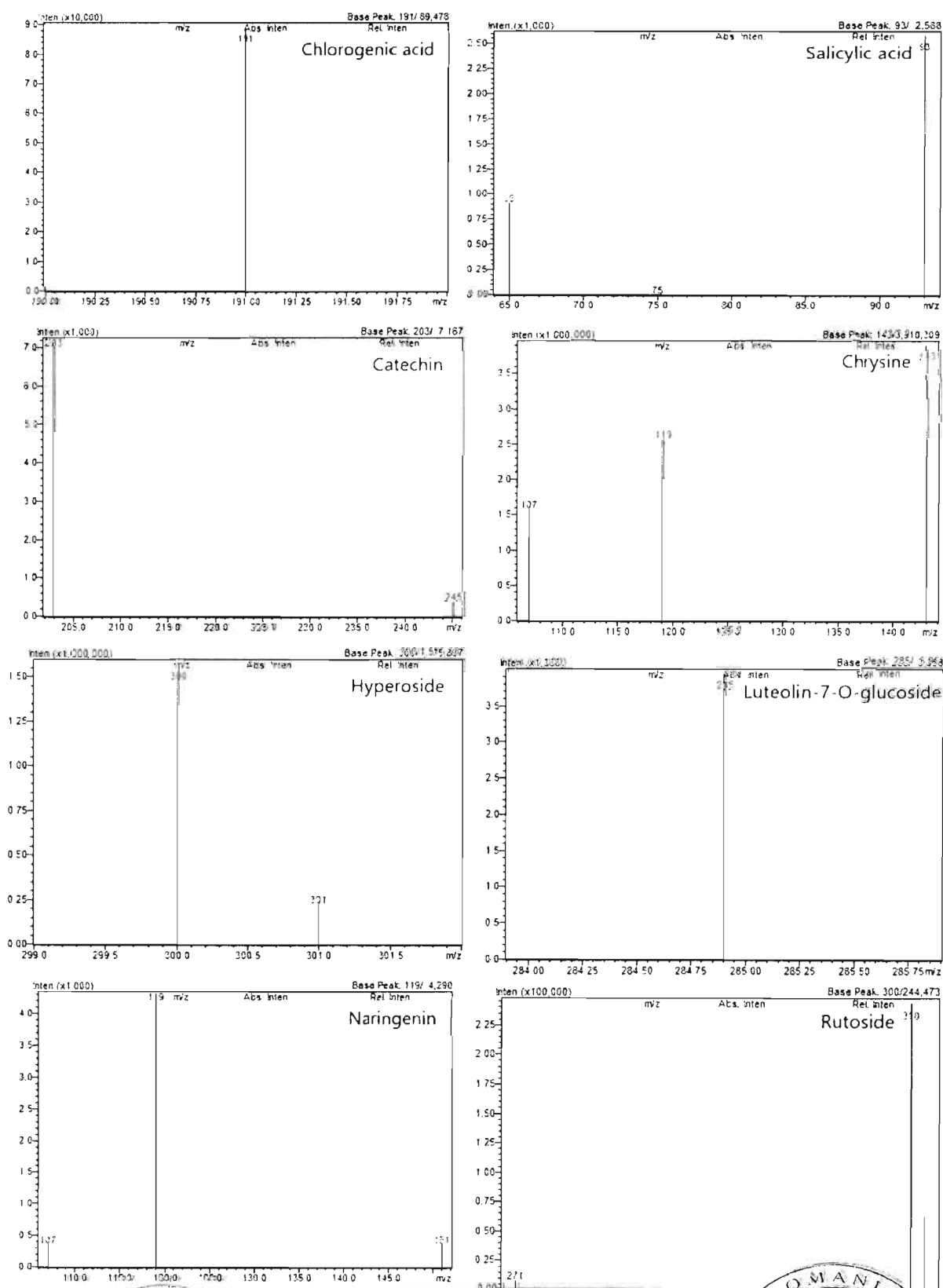
73

Plansa 18. Spectrele de masă ale componentelor identificate din CA_HPBCD_CHR_PEG

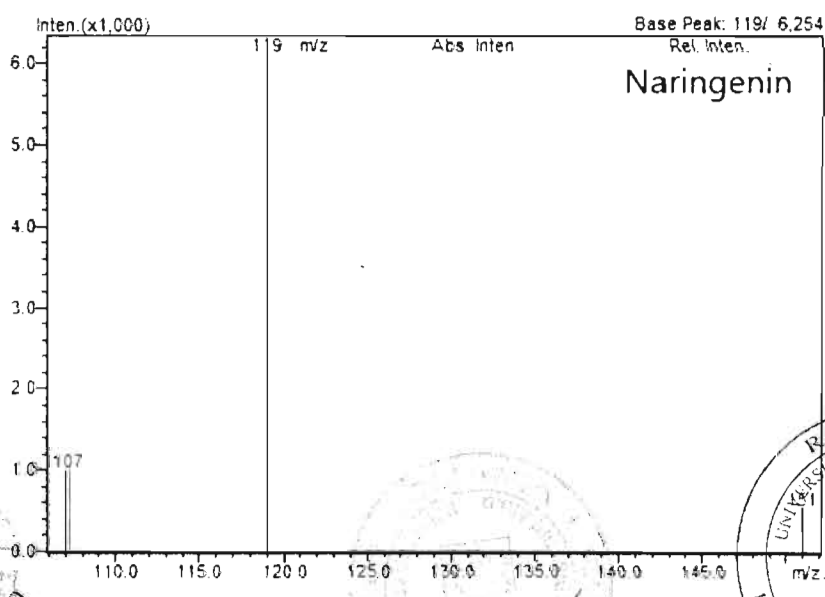
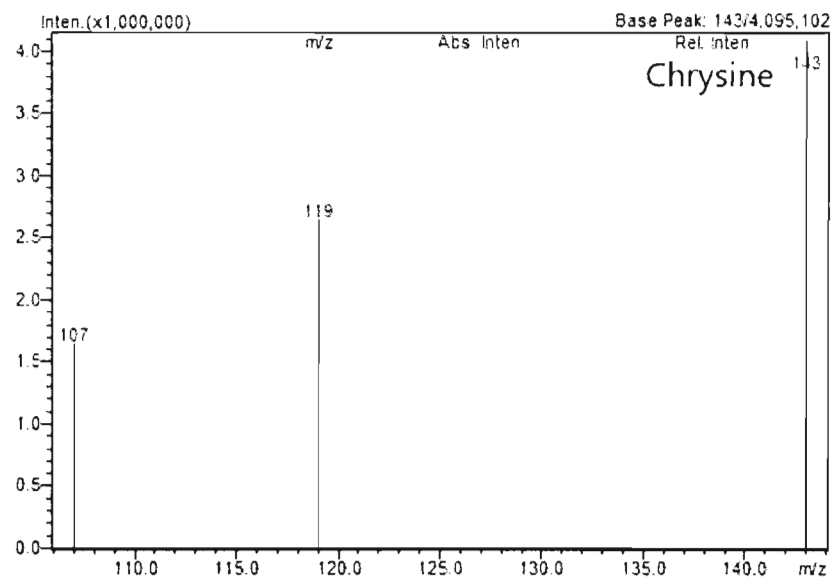
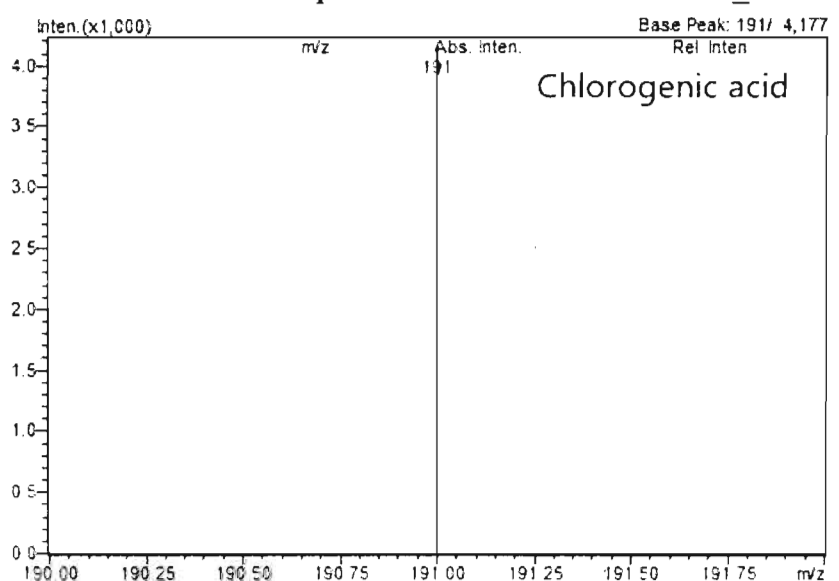


x2

Plansa 19. Spectrele de masă ale componentelor identificate din CA_RAMEB_CHR



Plansa 20. Spectrele de masă ale componentelor identificate din CA_HPBCD_CHR

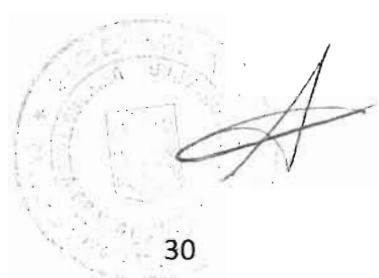
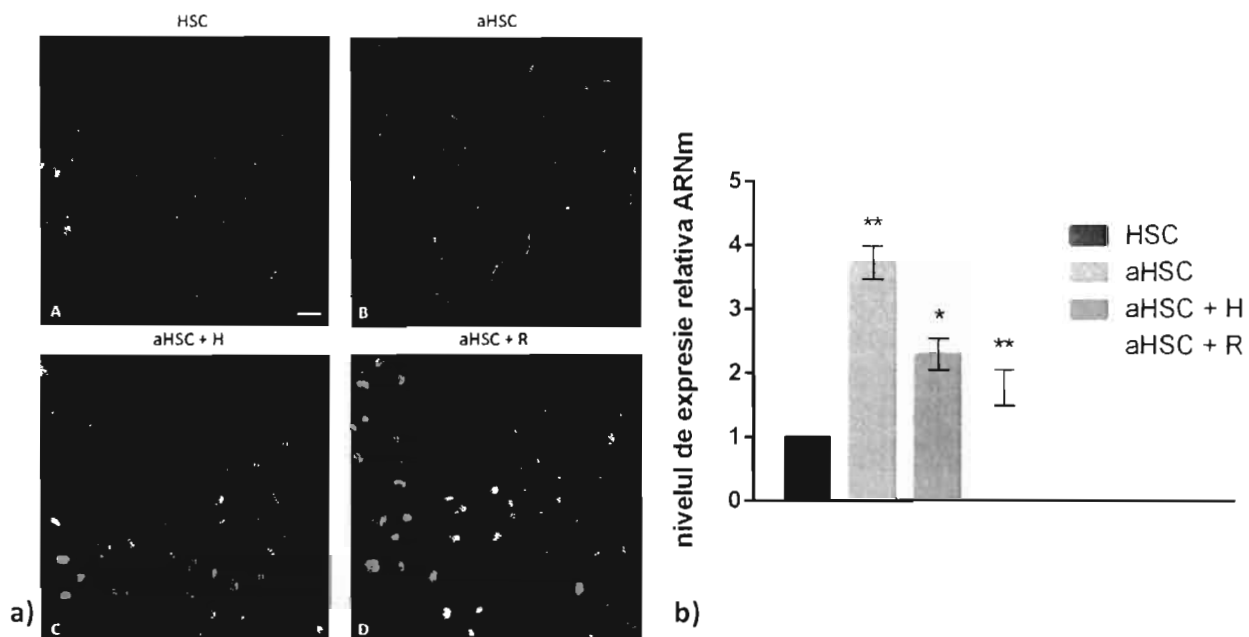


70

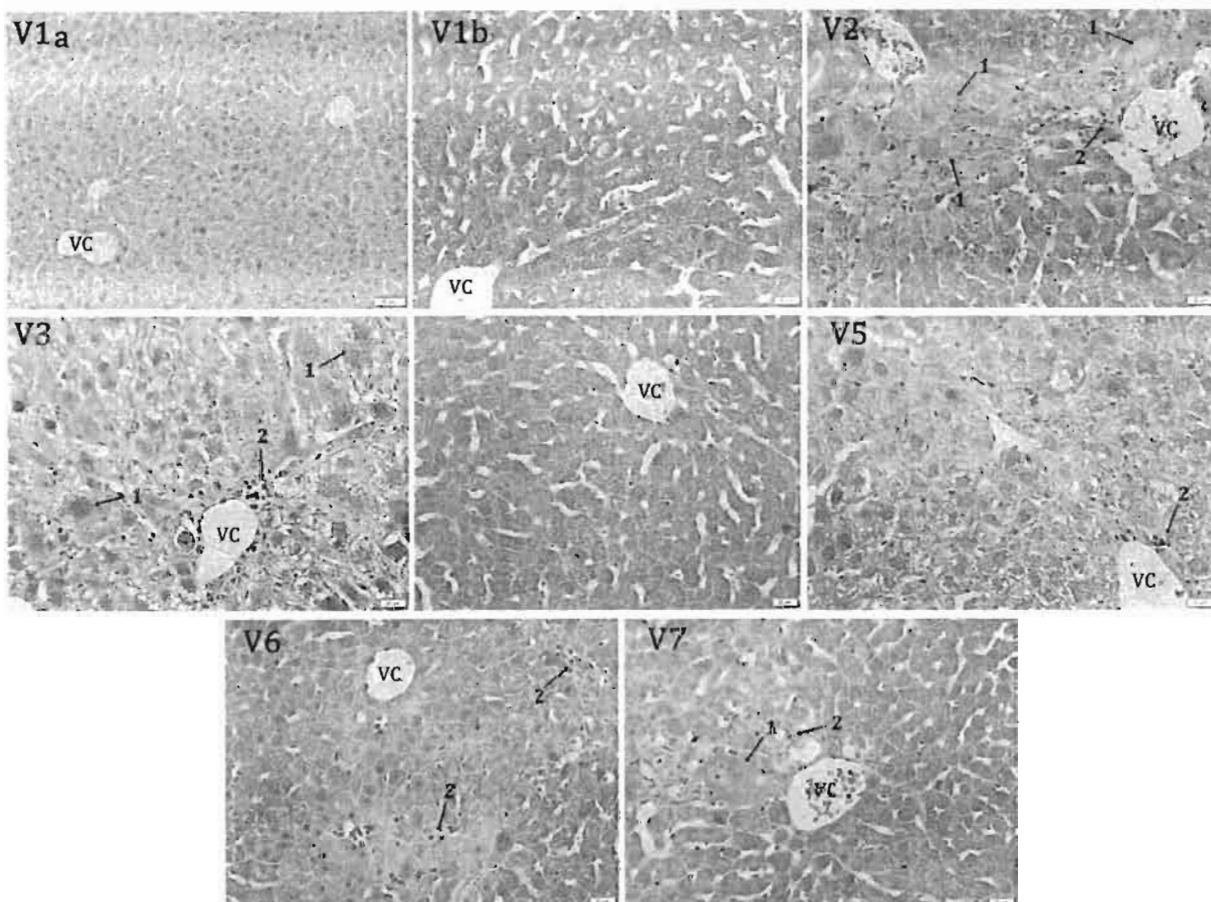
My

70

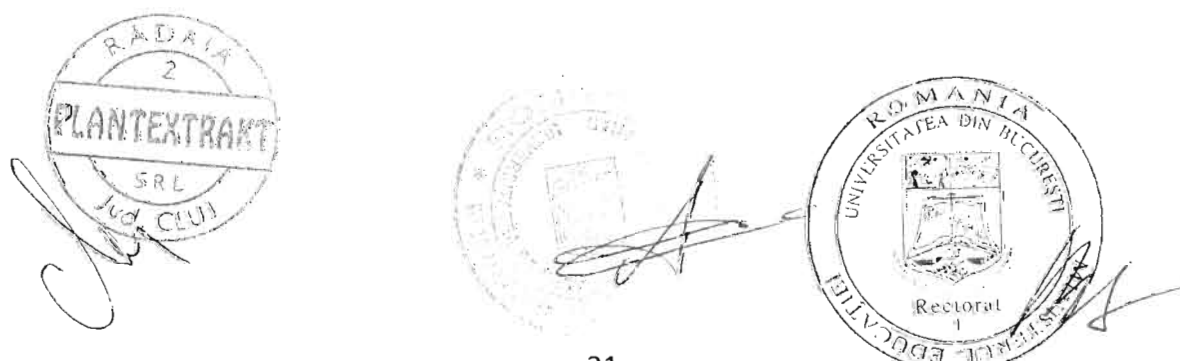
Plansa 21. Imagini de microscopie de fluorescență obținute cu obiectivul de 20x care evidențiază prezența TGF- β 1 marcată cu anticorp cuplat cu Alexa Fluor 488 (verde) și nucleii cu DAPI (albastru) în: A) HSC – celule hepatice stelate latente; B) aHSC – celule hepatice stelate activate induse cu TGF- β 1; C) aHSC + H – celule hepatice stelate activate tratate cu complexul CAG-CHR/HPBCD 40 μ M; D) aHSC + R – celule hepatice stelate activate tratate cu complexul CAG-CHR/RAMEB 40 μ M. Bară 50 μ m; b) Nivelul expresiei relative a *tgf-β1* în HSC. Semnificație statistică: * p<0.05, ** p<0.01.



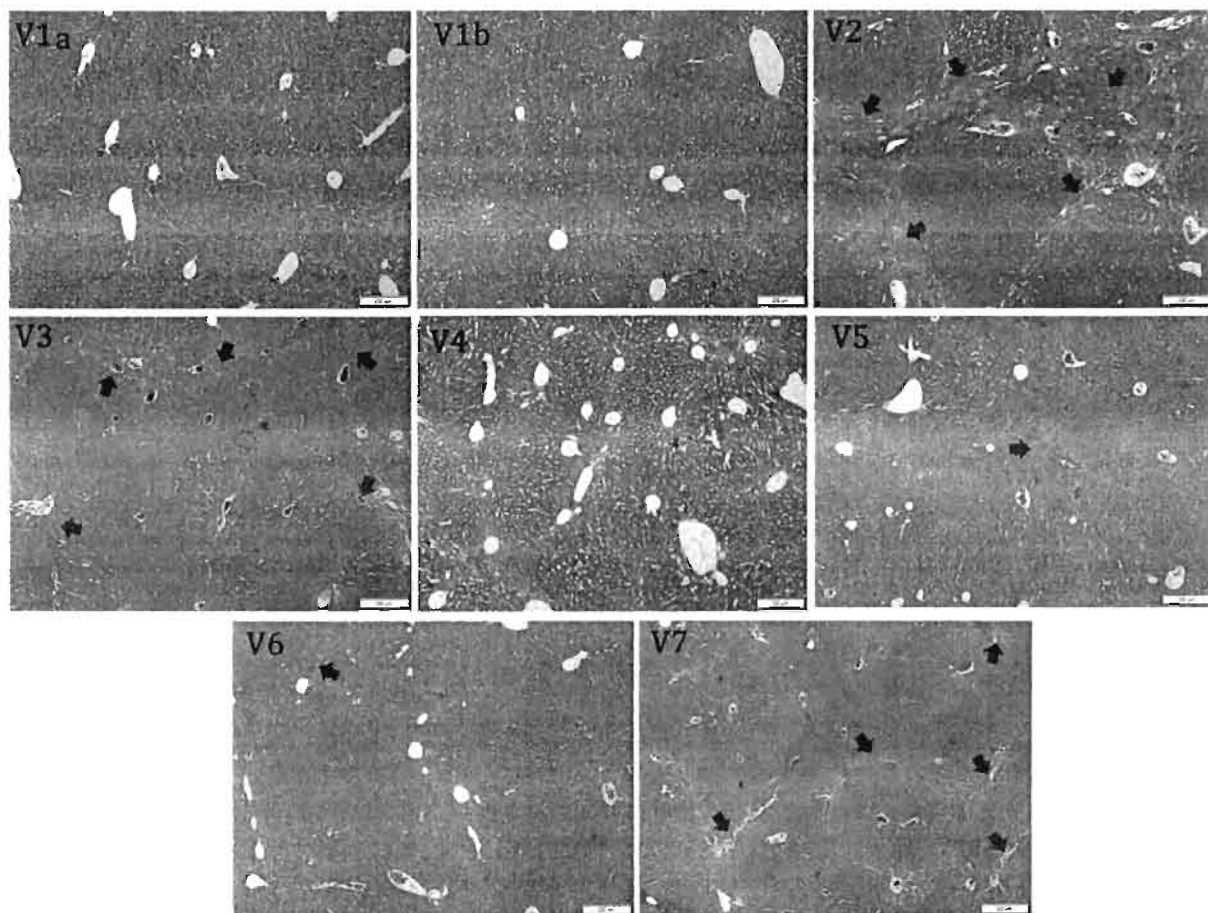
Plansa 22. Evaluarea histologică a activității anti-fibrotice in vivo a compoziției fitoterapeutice pe bază de extract gemoterapic de *Corylus avellana* îmbogățit cu nanocomplexe de crisină/ciclodextrine



Legenda: V1a- control sanatos; V1b-control diabetic; V2-fibroza; V3-reversia fibrozei; V4-CAG-CHR/Cyclo; V5- CAG; V6- CHR/Cyclo; V7- CHR; 1 – hepatocite spumoase hipertrofiate; 2 – infiltrat inflamator; VC- vena centrolobulară. Col.H&E, 20 µm



Plansa 23. Evidențierea proliferării de colagen la loturile experimentale în col. tricromică Van Gieson.



Legendă: V1a- control sanatos; V1b-control diabetic; V2-fibroza; V3-reversia fibrozei; V4-CAG-CHR/Cyclo; V5- CAG; V6- CHR/Cyclo; V7- CHR; 1 – hepatocyte spumoase hipertrofiate; 2 – infiltrat inflamator; VC- vena centrolobulară. 200 μ m

